

Amélioration de la robustesse de modèles réduits POD. Application au contrôle aérodynamique.

Michel Bergmann

L. Cordier, A. Iollo & C.-H. Bruneau

`Michel.Bergmann@math.u-bordeaux1.fr`

MATHÉMATIQUES APPLIQUÉES DE BORDEAUX Université Bordeaux 1

351 cours de la Libération

33405 TALENCE cedex, France

Plan de l'exposé

Introduction

I - Méthodes mathématiques

La théorie du contrôle optimal

Réduction de modèle par Décomposition Orthogonale aux valeurs Propres (POD)

II - Optimisation *sans* réactualisation de la base POD

III - Optimisation *avec* réactualisation de la base POD

Méthode adaptative

Méthode à région de confiance

IV - Amélioration du modèle réduit

Méthode de construction des coefficients temporels

Méthode de construction de la base spatiale

Conclusions et perspectives

Optimisation de l'aérodynamique interne et externe d'un avion par *contrôle des écoulements* : un enjeu majeur pour le développement du transport aéronautique

● Optimisation aérodynamique

- Augmentation de l'autonomie en vol
- Diminution de la masse au décollage
 - ↔ Réduction des coûts opérationnels
- Réduction de l'émission de gaz polluant
- Réduction de la nuisance sonore
- Gain de manœuvrabilité

● Exemple chiffré

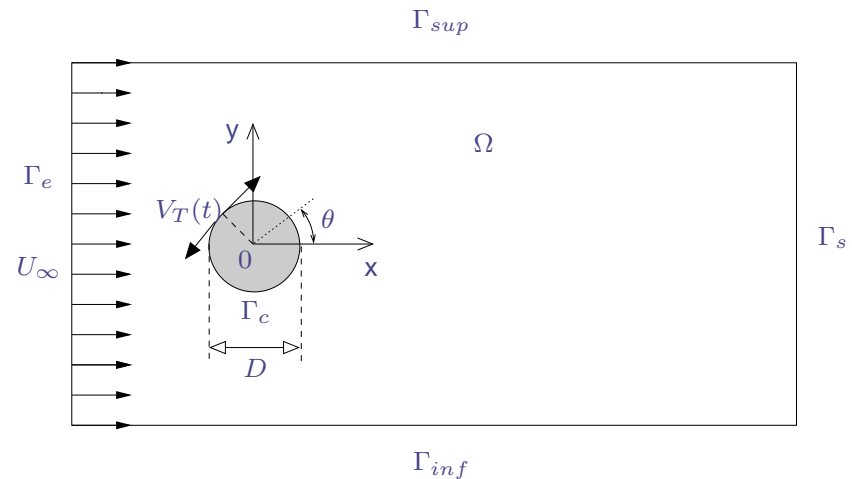
- Réduction 1% consommation mondiale de fuel pour le transport aéronautique
 - ↔ gain de dépense de 1,25 millions de dollars par jour en coût opérationnel (valeur en 2002)

Introduction Configuration et méthodes de résolutions numériques

- Écoulement 2D autour d'un cylindre circulaire à $Re = 200$
- Fluide visqueux, incompressible et newtonien
- Oscillations du cylindre à une vitesse tangentielle

$$\gamma(t) = \frac{V_T}{U_\infty} = A \sin(2\pi St_f t)$$

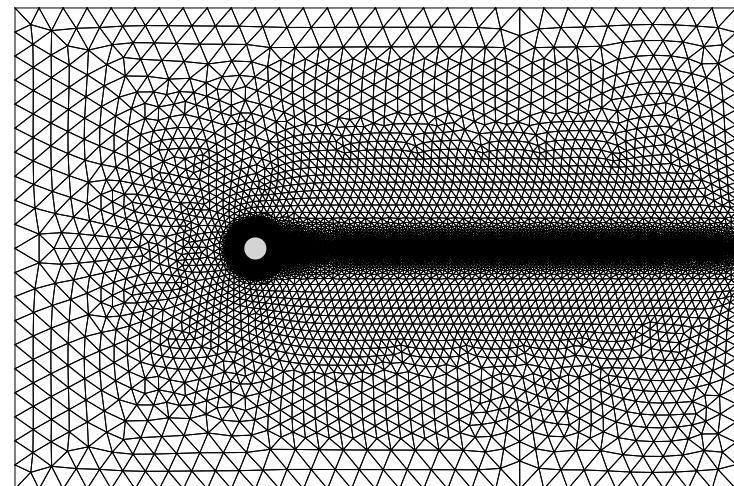
Cas test : $A = 2$ et $St_f = 0,5$



Déterminer les paramètres $c = (A, St_f)^T$ qui minimisent le coefficient de traînée moyen

- Méthode à pas fractionnaires (correction de pression) en temps
- Éléments finis (P_1, P_1) en espace

Code de calcul développé par M. Braza et D. Ruiz (IMFT-ENSEEIHT).



Introduction Coefficient de traînée & écoulement de base stationnaire instable

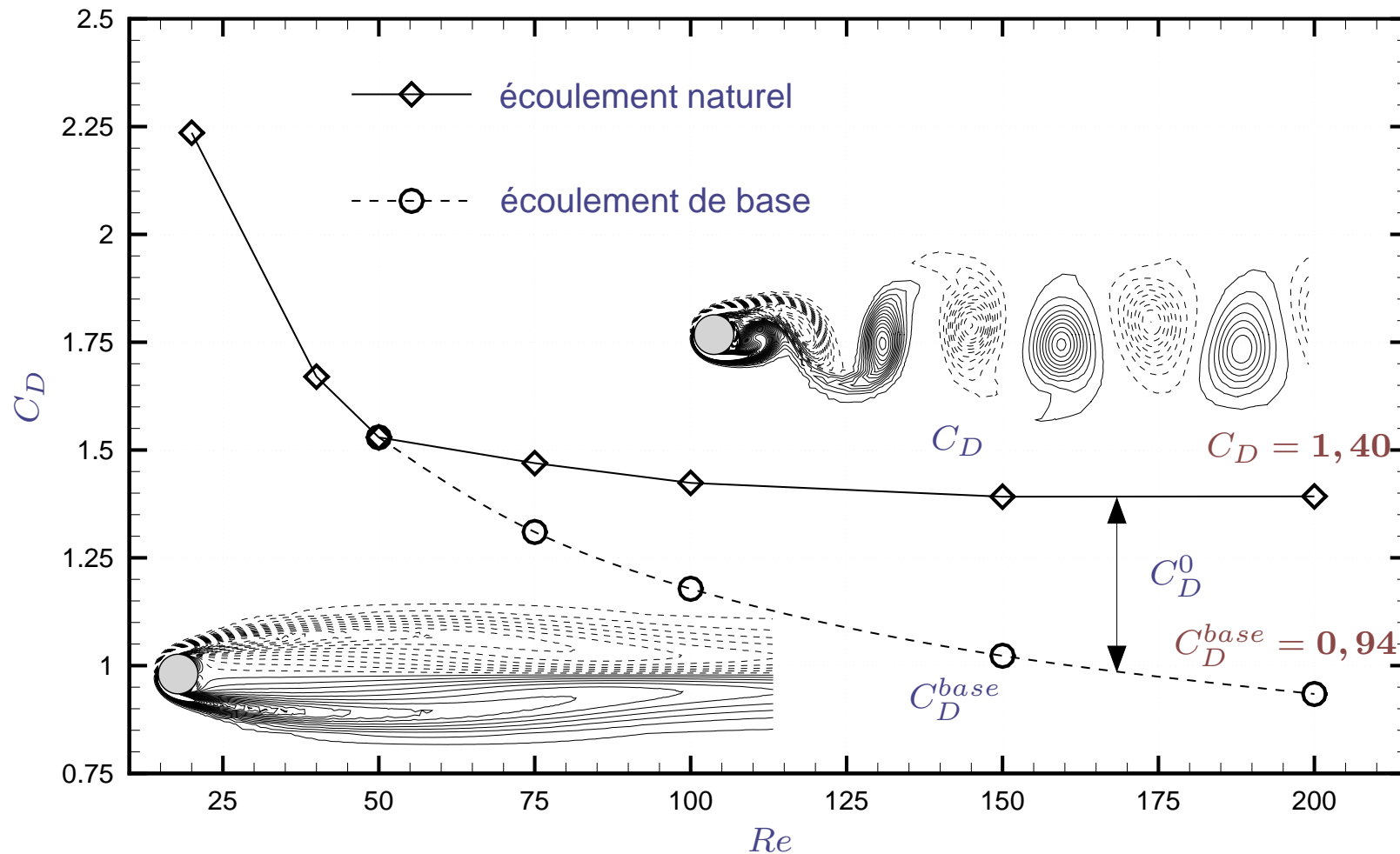


Fig. : Evolution du coefficient de traînée moyen en fonction du nombre de Reynolds. Comparaison entre l'écoulement naturel et l'écoulement de base stationnaire instable.

Protas, B. et Wesfreid, J.E. (2002) : Drag force in the open-loop control of the cylinder wake in the laminar regime. *Phys. Fluids*, **14**(2), pp. 810-826.

I - Etude paramétrique *Coefficient de traînée moyen*

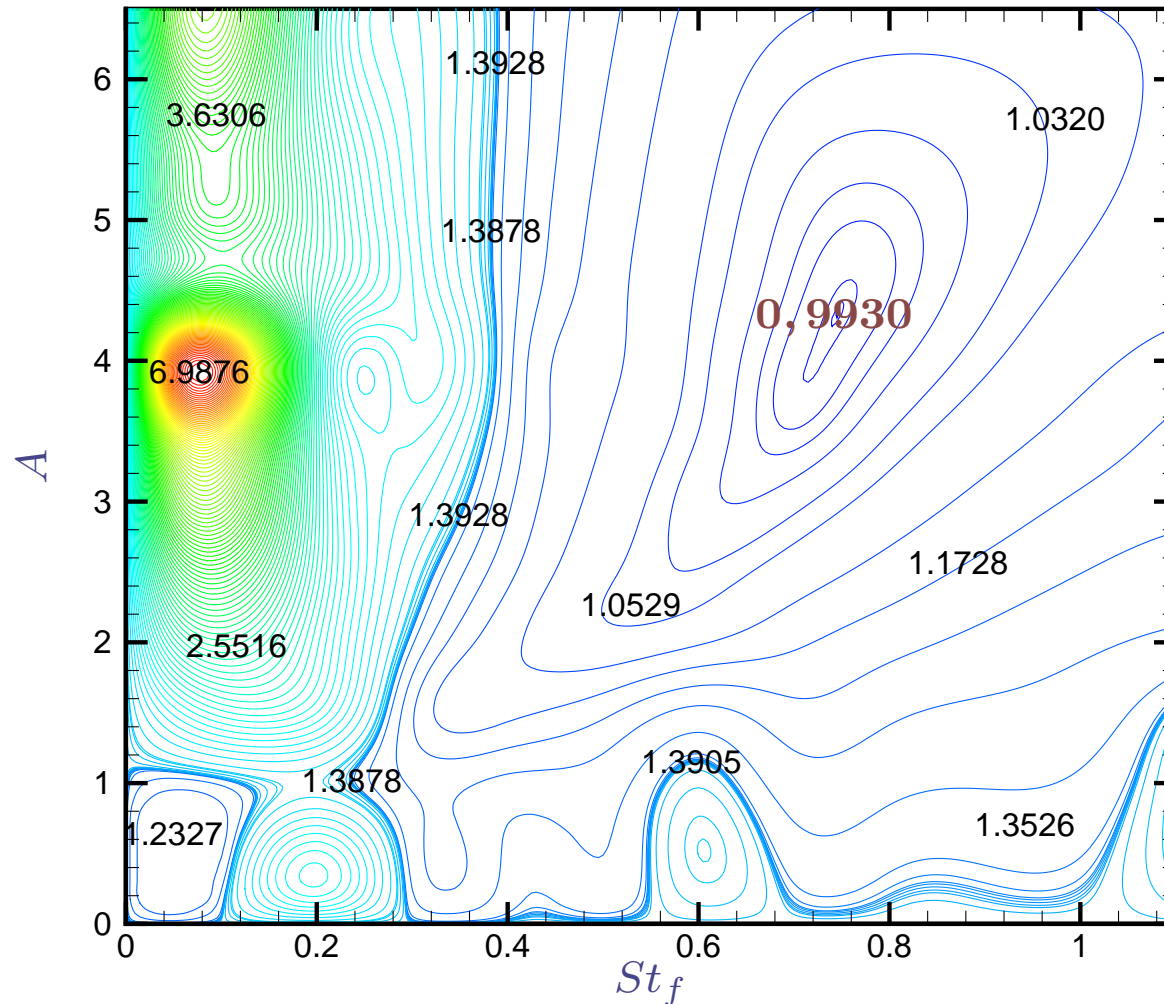


Fig. : *Coefficient de traînée moyen en fonction de l'amplitude et de la fréquence de forçage.*

Minimum (global ?) : $C_D = 0,9930$ pour $A = 4,25$ et $St_f = 0,74$.

Méthode mathématique permettant de déterminer **sans empirisme** une loi de commande à partir de l'optimisation d'une fonctionnelle coût.

- Equations d'état $\mathcal{F}(\phi, c) = 0$;
(Navier-Stokes + C.I. + C.L.)
- Variables de contrôle c ;
(Soufflage/aspiration, paramètres de forme, ...)
- Fonctionnelle objectif $\mathcal{J}(\phi, c)$.
(Traînée, portance, ...)

Déterminer les variables de contrôle c et les variables d'état ϕ telles que la fonctionnelle objectif $\mathcal{J}(\phi, c)$ soit minimale ou maximale sous les contraintes $\mathcal{F}(\phi, c) = 0$.

I - Théorie du contrôle optimal *Multiplicateurs de Lagrange*

Optimisation avec contraintes \Rightarrow optimisation sans contraintes

► Introduction de multiplicateurs de Lagrange ξ (pour chaque contrainte active).

► Fonctionnelle de Lagrange : $\mathcal{L}(\phi, c, \xi) = \mathcal{J}(\phi, c) - \langle \mathcal{F}(\phi, c), \xi \rangle$.

► Problème : rendre \mathcal{L} "stationnaire" \Rightarrow déterminer $\delta\mathcal{L} = \frac{\partial\mathcal{L}}{\partial\phi}\delta\phi + \frac{\partial\mathcal{L}}{\partial c}\delta c + \frac{\partial\mathcal{L}}{\partial\xi}\delta\xi = 0$.

► Hypothèse : ϕ, c et ξ indépendantes : $\frac{\partial\mathcal{L}}{\partial\phi}\delta\phi = \frac{\partial\mathcal{L}}{\partial c}\delta c = \frac{\partial\mathcal{L}}{\partial\xi}\delta\xi = 0$.

\hookrightarrow Solution de $\frac{\partial\mathcal{L}}{\partial\xi}\delta\xi = 0$: équations d'état $\mathcal{F}(\phi, c) = 0$.

\hookrightarrow Solution de $\frac{\partial\mathcal{L}}{\partial\phi}\delta\phi = 0$: équations adjointes $\left(\frac{\partial\mathcal{F}}{\partial\phi}\right)^* \xi = \left(\frac{\partial\mathcal{J}}{\partial\phi}\right)^*$.

\hookrightarrow Solution de $\frac{\partial\mathcal{L}}{\partial c}\delta c = 0$: conditions d'optimalité $\left(\frac{\partial\mathcal{J}}{\partial c}\right)^* = \left(\frac{\partial\mathcal{F}}{\partial c}\right)^* \xi$.

\Rightarrow Assure un extremum local (minimum)

\Rightarrow Méthode de résolution coûteuse en temps CPU
et mémoire pour des systèmes de grandes tailles !

"without an inexpensive method for reducing the cost of flow computations, it is unlikely that the solution of optimization problems involving the three dimensional unsteady Navier-Stokes system will become routine"

M. Gunzburger, 2000

I - Réduction de modèle *Décomposition Orthogonale aux valeurs Propres*

► Proper Orthogonal Decomposition (POD), Lumley (1967).

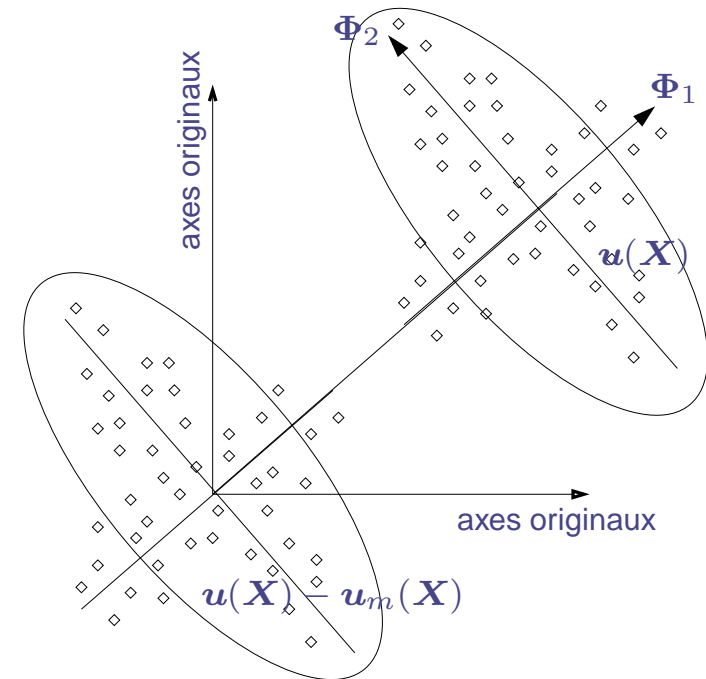
► Rechercher la réalisation $\Phi(\mathbf{X})$ "ressemblant le plus" en moyenne aux réalisations $\mathbf{u}(\mathbf{X})$.
($\mathbf{X} = (\mathbf{x}, t) \in \mathcal{D} = \Omega \times \mathbb{R}^+$)

► $\Phi(\mathbf{X})$ solution du problème :

$$\max_{\Phi} \langle |(\mathbf{u}, \Phi)|^2 \rangle, \quad \|\Phi\|^2 = 1.$$

► Convergence optimale *en norme L^2* (énergie) de $\Phi(\mathbf{X})$

⇒ réduction de dynamique envisageable.



Lumley J.L. (1967) : The structure of inhomogeneous turbulence. *Atmospheric Turbulence and Wave Propagation*, ed. A.M. Yaglom & V.I. Tatarski, pp. 166-178.

I - Réduction de modèle *Décomposition Orthogonale aux valeurs Propres*

- Equivalence avec une équation intégrale de Fredholm :

$$\int_{\mathcal{D}} R_{ij}(\mathbf{X}, \mathbf{X}') \Phi_n^{(j)}(\mathbf{X}') d\mathbf{X}' = \lambda_n \Phi_n^{(i)}(\mathbf{X}) \quad n = 1, \dots, N_{POD}$$

↪ $R(\mathbf{X}, \mathbf{X}')$: *tenseur des corrélations spatio-temporelles.*

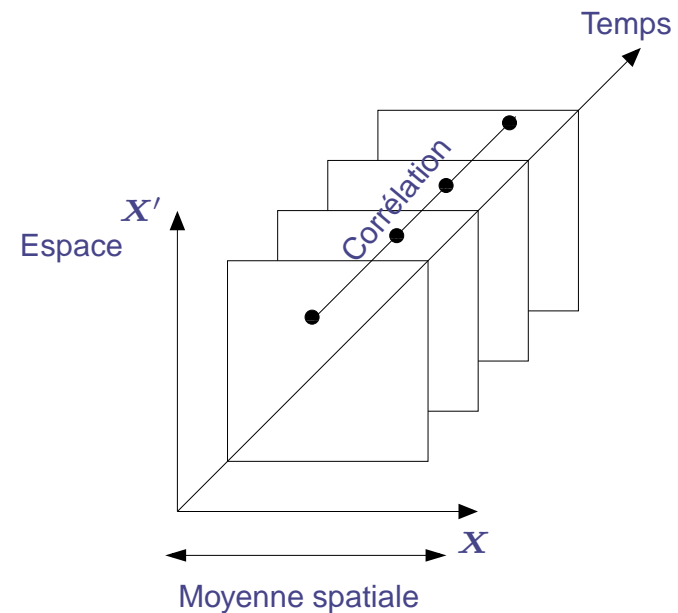
- Méthode des snapshots, Sirovich (1987) :

$$\int_T C(t, t') a_n(t') dt' = \lambda_n a_n(t)$$

↪ $C(t, t')$: *corrélations temporelles.*

- $\Phi(\mathbf{X})$ base de l'écoulement :

$$\mathbf{u}(\mathbf{x}, t) = \sum_{n=1}^{N_{POD}} a_n(t) \Phi_n(\mathbf{x}).$$



Sirovich L. (1987) : Turbulence and the dynamics of coherent structures. Part 1,2,3 *Quarterly of Applied Mathematics*, **XLV** N° 3, pp. 561–571.

I - Réduction de modèle *Réduction d'ordre de la base POD*

► Contenu énergétique relatif : $RIC(M) = \frac{\sum_{k=1}^M \lambda_k}{\sum_{k=1}^{N_{POD}} \lambda_k}$

Objectif : réaliser une troncature dans la base POD en conservant 99% de l'énergie relative

► Cas test : $A = 2$ et $St_f = 0,5 \Rightarrow N_{POD} = 361$ réalisations sur $T = 18$

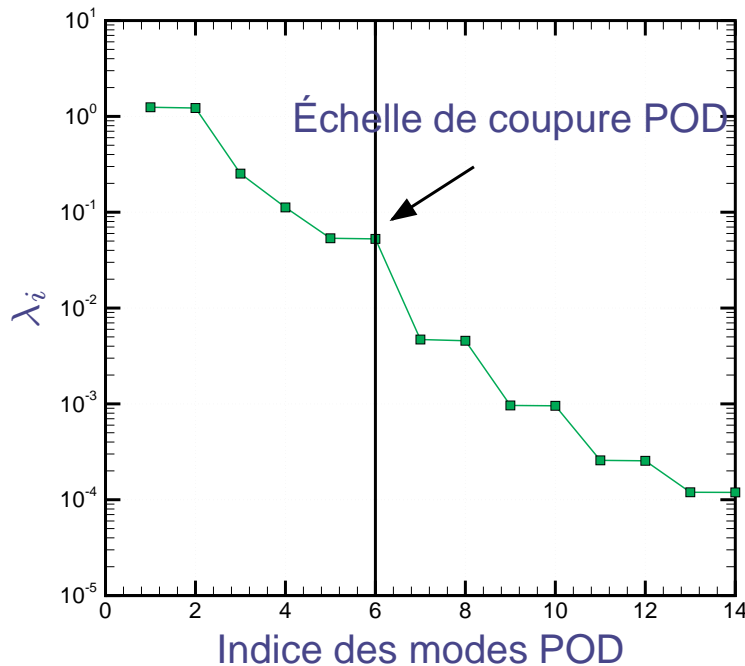


Fig. : Spectre énergétique et échelle de coupure POD.

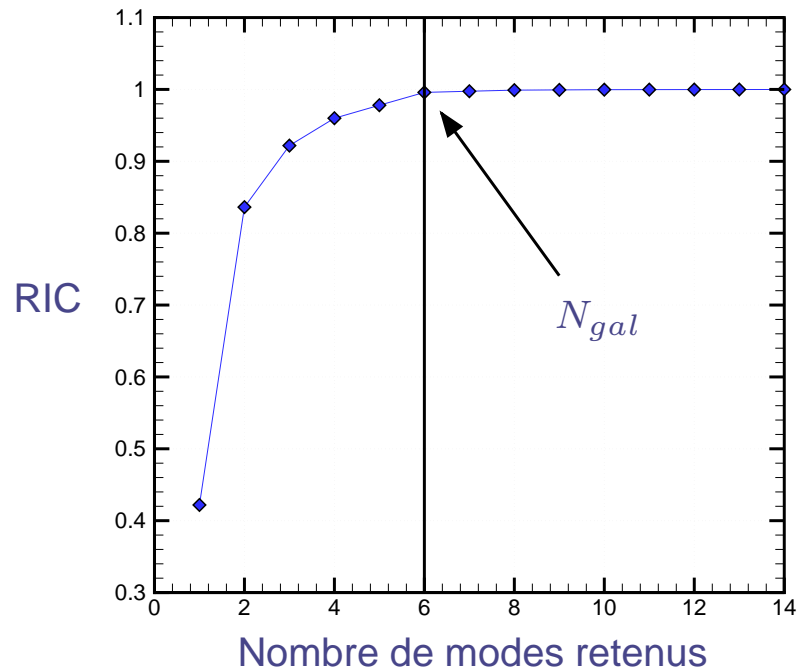


Fig. : Énergie cinétique relative en fonction du nombre M de modes POD retenus.

$$N_{gal} = \arg \min_M RIC(M) \text{ t.q. } RIC(N_{gal}) > 99\% \Rightarrow N_{gal} = 6!$$

I - Réduction de modèle Modes POD du sillage d'un cylindre

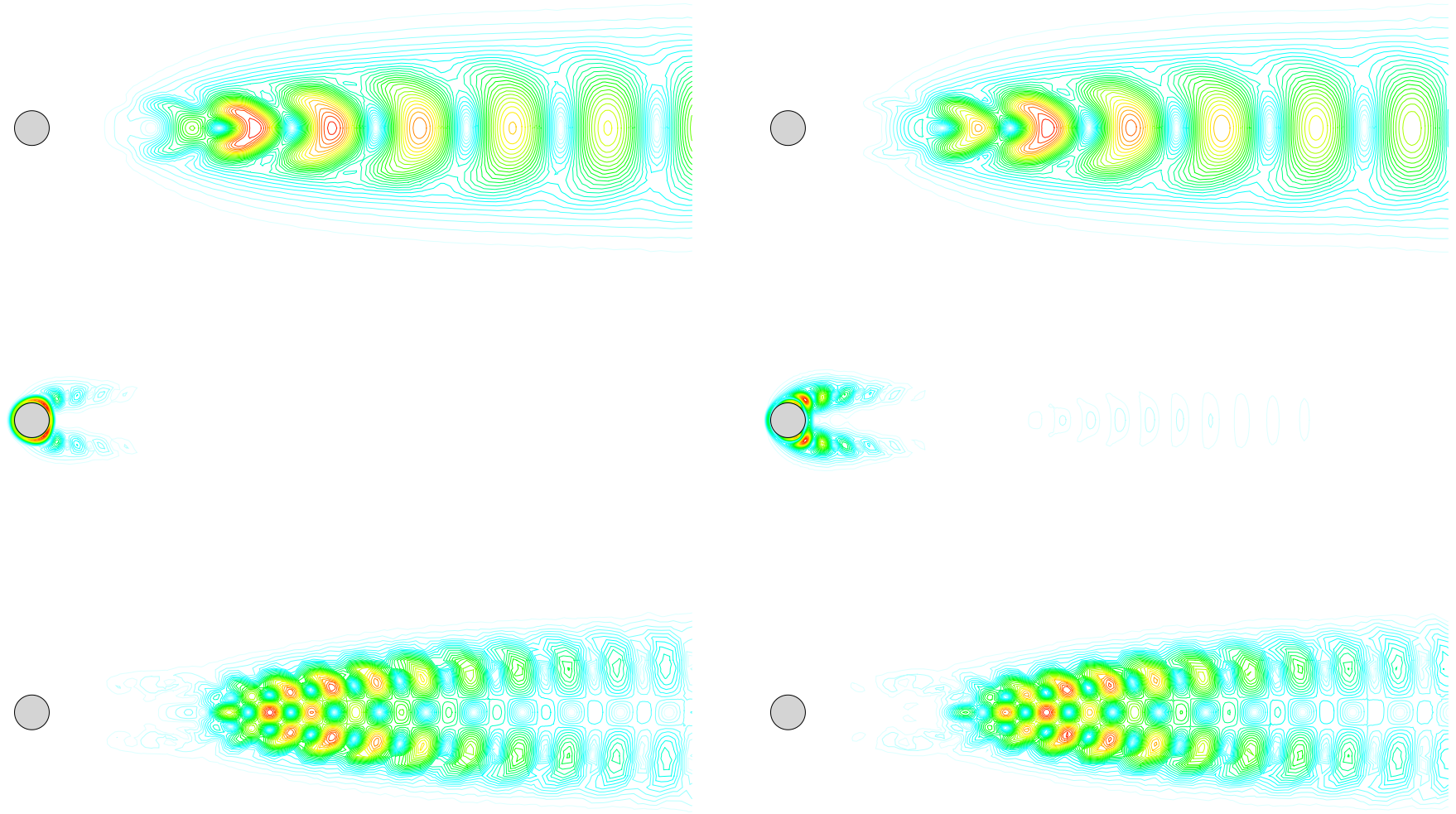


Fig. : Représentation des 6 premiers modes POD de fluctuations autour du champ moyen $\gamma(t) = A \sin(2\pi St_f t)$ avec $A = 2$ et $St_f = 0,5$.

I - Réduction de modèle *Sillage d'un cylindre*

- Projection de Galerkin des équations de Navier-Stokes sur la base POD :

$$\left(\Phi_i, \frac{\partial \mathbf{u}}{\partial t} + (\mathbf{u} \cdot \nabla) \mathbf{u} \right) = \left(\Phi_i, -\nabla p + \frac{1}{Re} \Delta \mathbf{u} \right).$$

- Intégration par parties (formule de Green) :

$$\begin{aligned} \left(\Phi_i, \frac{\partial \mathbf{u}}{\partial t} + (\mathbf{u} \cdot \nabla) \mathbf{u} \right) &= (p, \nabla \cdot \Phi_i) - \frac{1}{Re} \left((\nabla \otimes \Phi_i)^T, \nabla \otimes \mathbf{u} \right) \\ &\quad - [p \Phi_i] + \frac{1}{Re} [(\nabla \otimes \mathbf{u}) \Phi_i]. \end{aligned}$$

avec $[a] = \int_{\Gamma} \mathbf{a} \cdot \mathbf{n} \, d\mathbf{x}$ et $(\overline{\overline{A}}, \overline{\overline{B}}) = \int_{\Omega} \overline{\overline{A}} : \overline{\overline{B}} \, d\Omega = \sum_{i,j} \int_{\Omega} A_{ij} B_{ji} \, d\mathbf{x}$.

- Termes de pression "indésirables" : \Rightarrow élimination

I - Réduction de modèle *Système dynamique du sillage contrôlé d'un cylindre*

- Décomposition du champ de vitesse sur N_{POD} modes :

$$\mathbf{u}(\mathbf{x}, t) = \mathbf{u}_m(\mathbf{x}) + \gamma(t) \mathbf{u}_c(\mathbf{x}) + \sum_{k=1}^{N_{POD}} a_k(t) \Phi_k(\mathbf{x}).$$

- Système dynamique réduit avec N_{gal} ($\ll N_{POD}$) modes retenus :

$$\left\{ \begin{array}{l} \frac{d a_i(t)}{d t} = \mathcal{A}_i + \sum_{j=1}^{N_{gal}} \mathcal{B}_{ij} a_j(t) + \sum_{j=1}^{N_{gal}} \sum_{k=1}^{N_{gal}} \mathcal{C}_{ijk} a_j(t) a_k(t) \\ \quad + \mathcal{D}_i \frac{d \gamma}{d t} + \left(\mathcal{E}_i + \sum_{j=1}^{N_{gal}} \mathcal{F}_{ij} a_j(t) \right) \gamma + \mathcal{G}_i \gamma^2 \\ a_i(0) = (\mathbf{u}(\mathbf{x}, 0), \Phi_i(\mathbf{x})). \end{array} \right.$$

$\mathcal{A}_i, \mathcal{B}_{ij}, \mathcal{C}_{ijk}, \mathcal{D}_i, \mathcal{E}_i, \mathcal{F}_{ij}$ et \mathcal{G}_i dépendent uniquement de $\Phi, \mathbf{u}_m, \mathbf{u}_c$ et Re .

I - Réduction de modèle *Intégration et stabilisation du modèle réduit*

Cas test : $\gamma = A \sin(2\pi St_f t)$, $A = 2$ et $St_f = 0,5$.

Erreurs de reconstruction POD ROM \Rightarrow amplification temporelle des modes

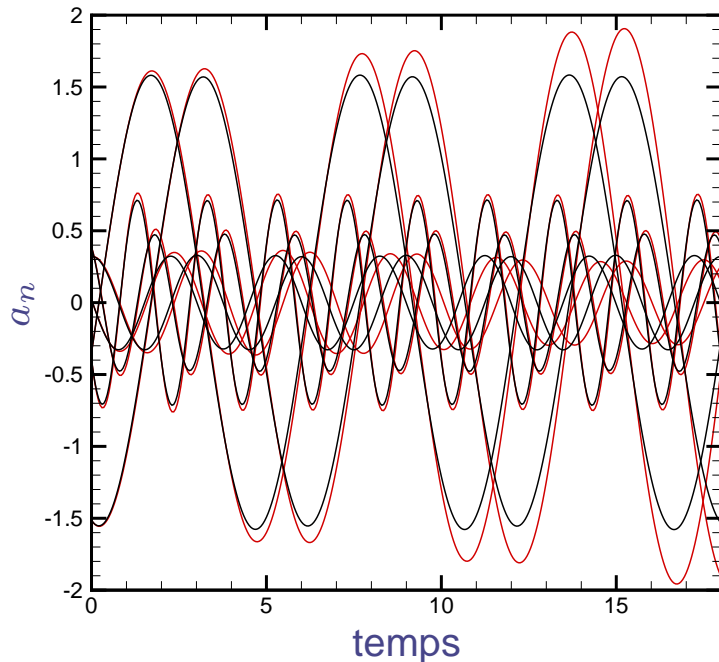


Fig. : *Evolution temporelle des 6 premiers modes POD.*

- projection (Navier-Stokes) : $a_{\tau n}(t)$
- prédiction avant stabilisation (POD ROM)

► Causes :

- Extraction des grosses et moyennes structures porteuses d'énergie
- Essentiel de dissipation dans les petites structures

► Solution :

- Ajout de viscosités artificielles optimales sur chaque mode POD

I - Réduction de modèle *Intégration et stabilisation du modèle réduit*

Cas test : $\gamma = A \sin(2\pi St_f t)$, $A = 2$ et $St_f = 0,5$.

Erreurs de reconstruction POD ROM \Rightarrow amplification temporelle des modes

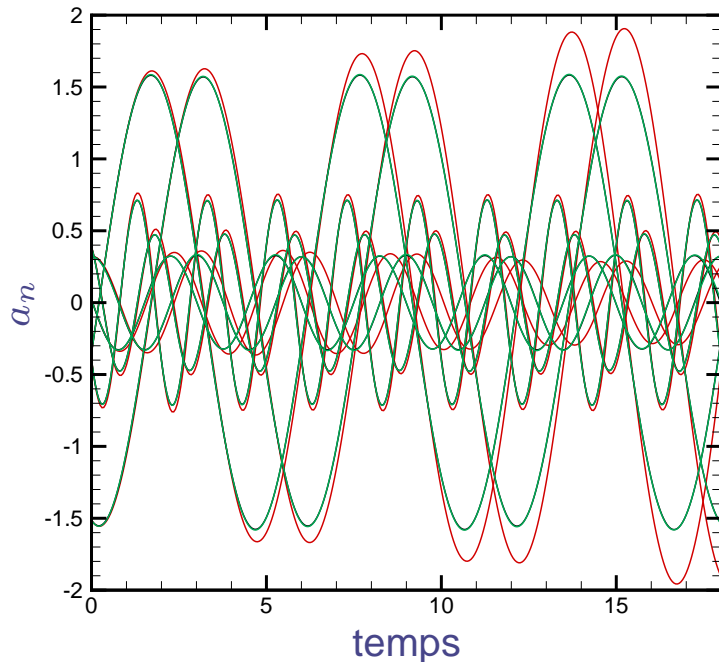


Fig. : *Evolution temporelle des 6 premiers modes POD.*

► Causes :

- Extraction des grosses et moyennes structures porteuses d'énergie
- Essentiel de dissipation dans les petites structures

► Solution :

- Ajout de viscosités artificielles optimales sur chaque mode POD

- projection (Navier-Stokes) : $a_{\tau n}(t)$
- prédiction avant stabilisation (POD ROM)
- prédiction après stabilisation (POD ROM).

I - Réduction de modèle *Stabilisation du modèle réduit - Energie*

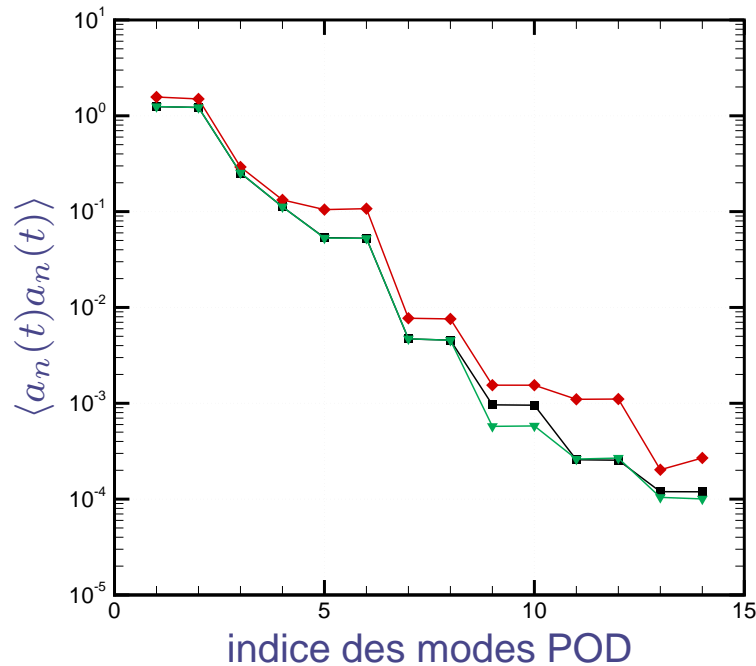


Fig. : Comparaison du contenu énergétique de chaque mode POD estimé respectivement par DNS et par POD ROM.

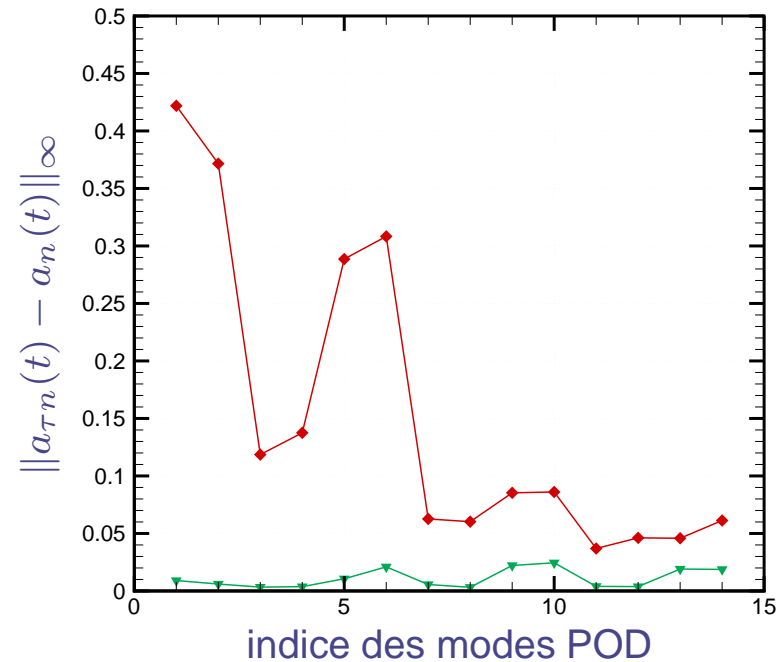
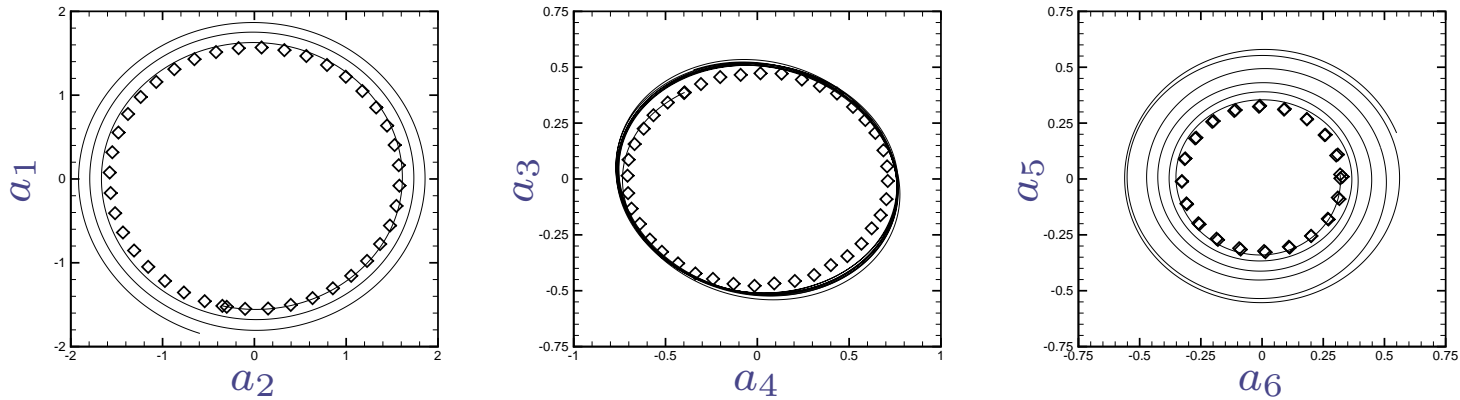


Fig. : Erreur en norme infinie du contenu énergétique de chaque mode POD avant et après stabilisation.

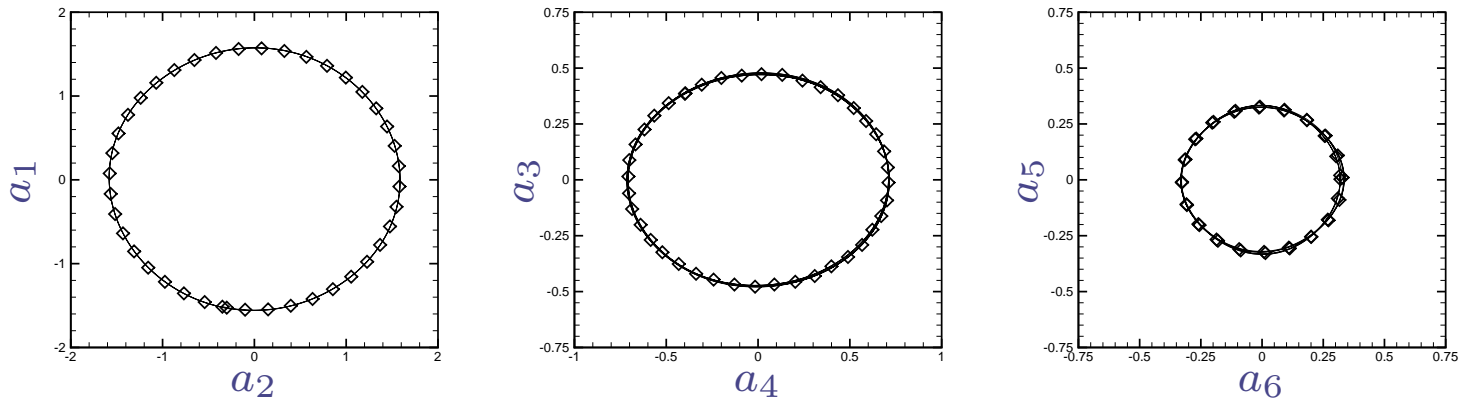
- ▶ Bonne concordance entre spectres POD ROM et DNS
- ▶ Réduction de l'erreur de reconstruction entre les modes prédits (POD ROM) et projetés (DNS)

⇒ Validation du modèle réduit POD

I - Réduction de modèle *Stabilisation du modèle réduit - Dynamique*



Sans ajout de viscosités artificielles.

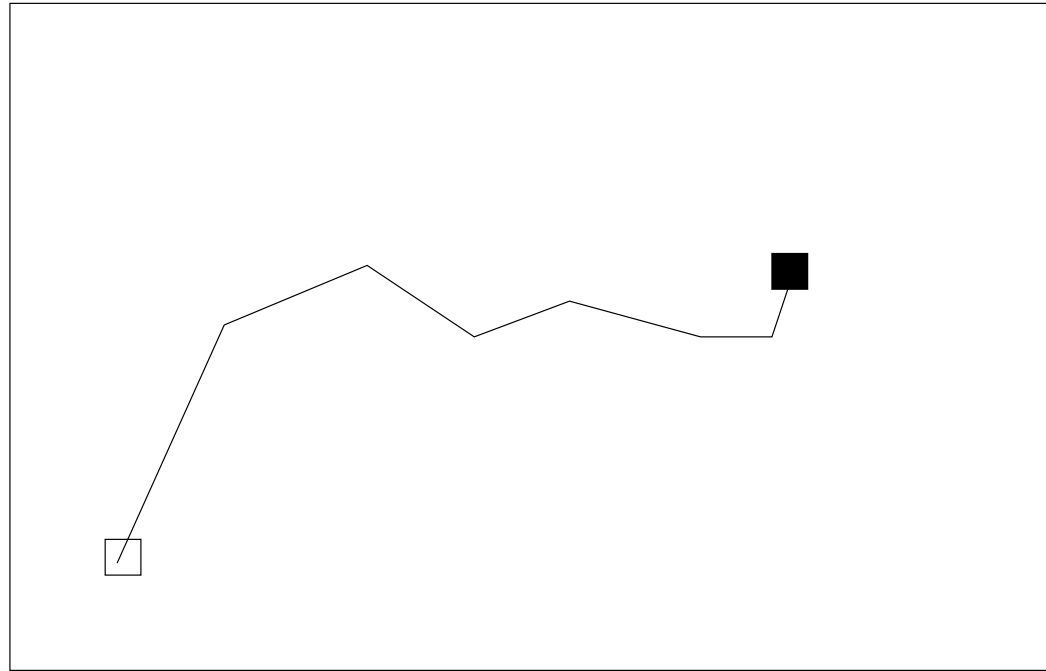


Avec ajout de viscosités artificielles.

Fig. : *Portraits de phase des 6 premiers coefficients temporels a_n sur 18 unités de temps.*

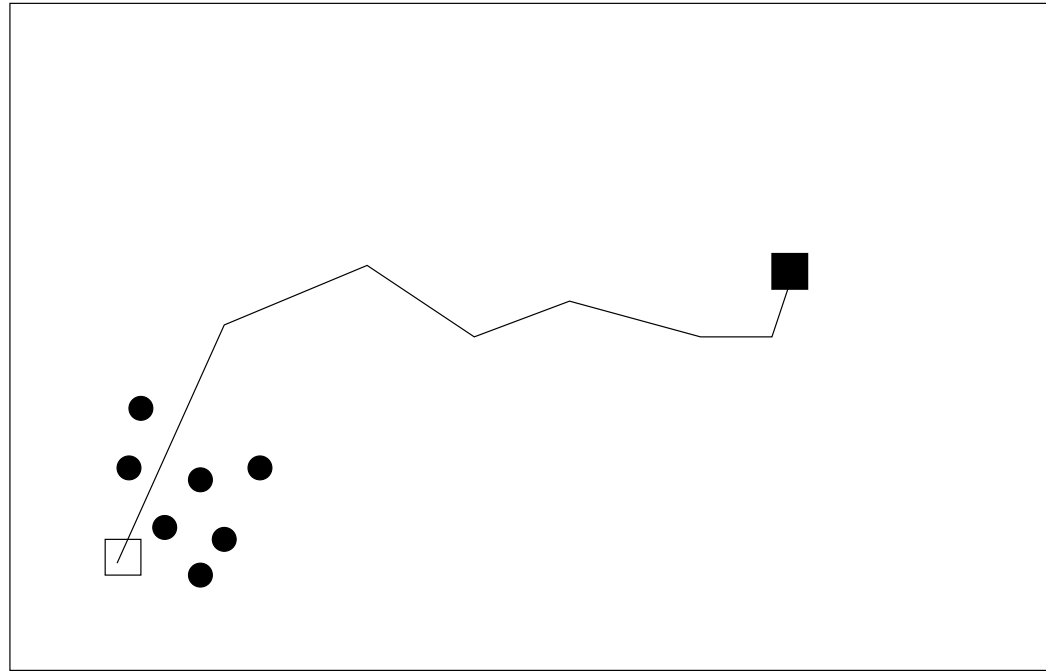
◇ modes DNS ; — modes POD.

Le modèle réduit POD représente correctement *une unique* dynamique : manque de robustesse ...



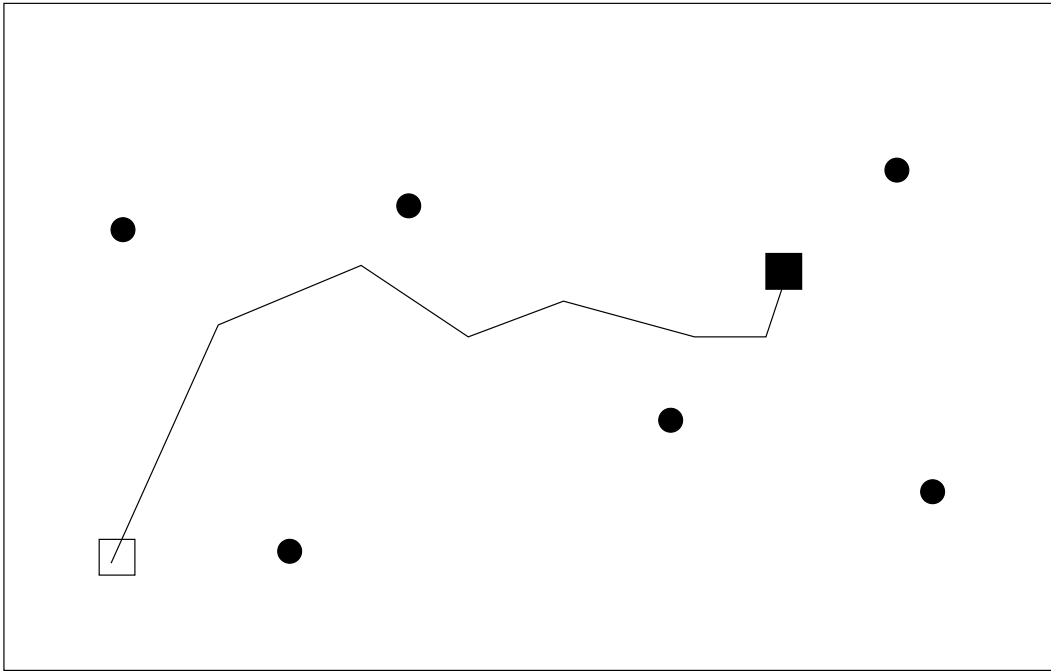
Configuration générale.

Fig. : *Problème d'optimisation posé dans l'espace des paramètres de contrôle.*
— *chemin d'optimisation, conditions initiale \square et terminale \blacksquare du processus d'optimisation.*



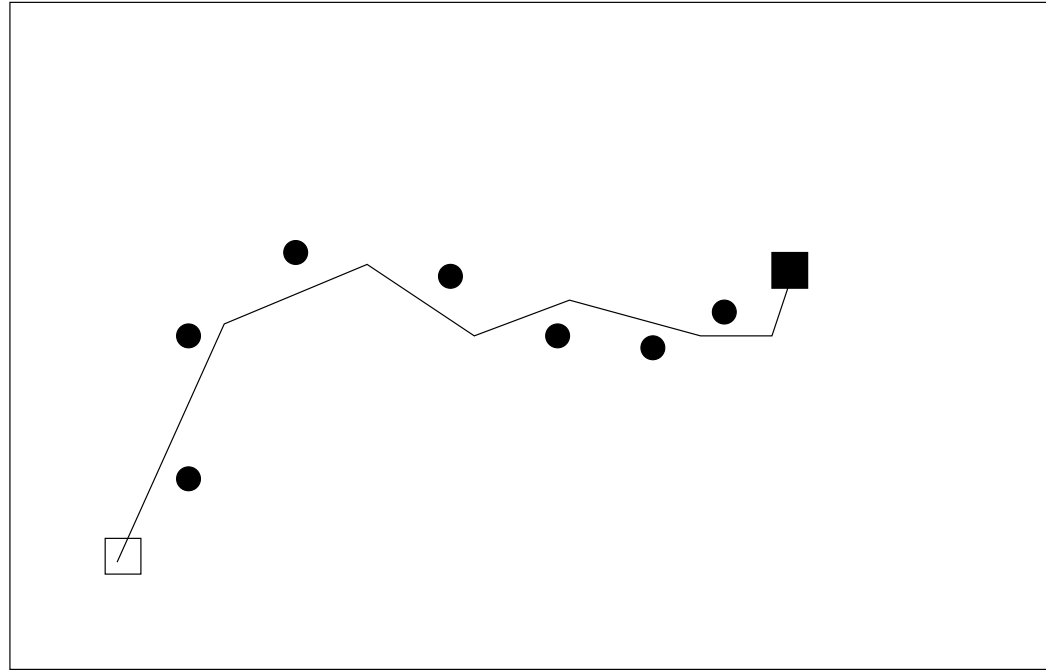
Echantillonnage inadapté.

Fig. : *Problème d'optimisation posé dans l'espace des paramètres de contrôle.*
— *chemin d'optimisation, conditions initiale \square et terminale \blacksquare du processus d'optimisation,*
● *réalisation utilisée pour la base de données.*



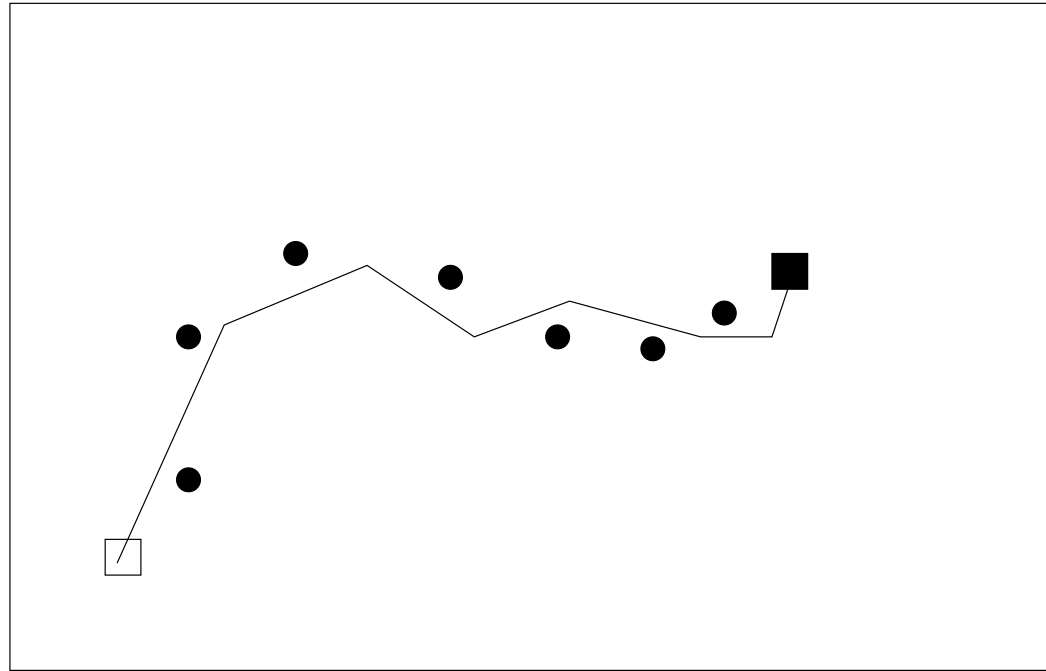
Echantillonnage inadapté.

Fig. : *Problème d'optimisation posé dans l'espace des paramètres de contrôle.*
— *chemin d'optimisation, conditions initiale \square et terminale \blacksquare du processus d'optimisation,*
● *réalisation utilisée pour la base de données.*



Echantillonnage idéal.

Fig. : *Problème d'optimisation posé dans l'espace des paramètres de contrôle.*
— *chemin d'optimisation, conditions initiale \square et terminale \blacksquare du processus d'optimisation,*
● *réalisation utilisée pour la base de données.*



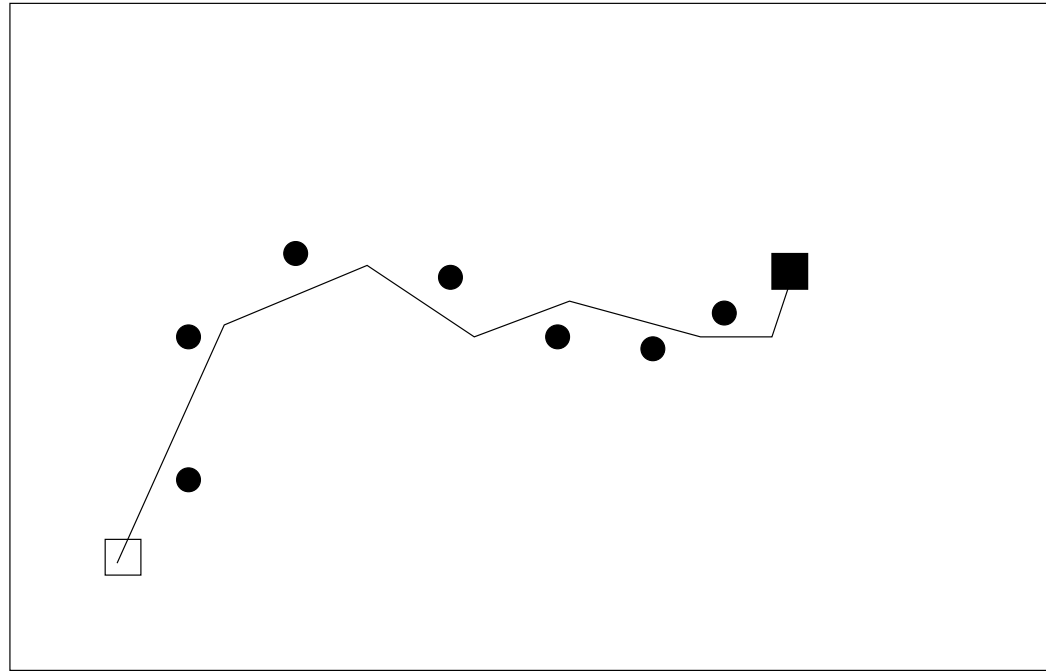
Echantillonnage idéal.

Fig. : *Problème d'optimisation posé dans l'espace des paramètres de contrôle.*
— *chemin d'optimisation, conditions initiale \square et terminale \blacksquare du processus d'optimisation,*
● *réalisation utilisée pour la base de données.*

- La base représente toutes les dynamiques le long du chemin d'optimisation

II - Optimisation sans réactualisation de la base POD

[Bergmann *et al.*, Phys. Fluids, 17 (9), 2005]



Echantillonnage idéal.

Fig. : *Problème d'optimisation posé dans l'espace des paramètres de contrôle.*
— *chemin d'optimisation, conditions initiale \square et terminale \blacksquare du processus d'optimisation,*
● *réalisation utilisée pour la base de données.*

- La base représente toutes les dynamiques le long du chemin d'optimisation
II - Optimisation sans réactualisation de la base POD
[Bergmann *et al.*, Phys. Fluids, 17 (9), 2005]
- La base ne représente qu'une dynamique contrôlée particulière
III - Optimisation avec réactualisation de la base POD

II - Base POD non réactualisée *Présentation*

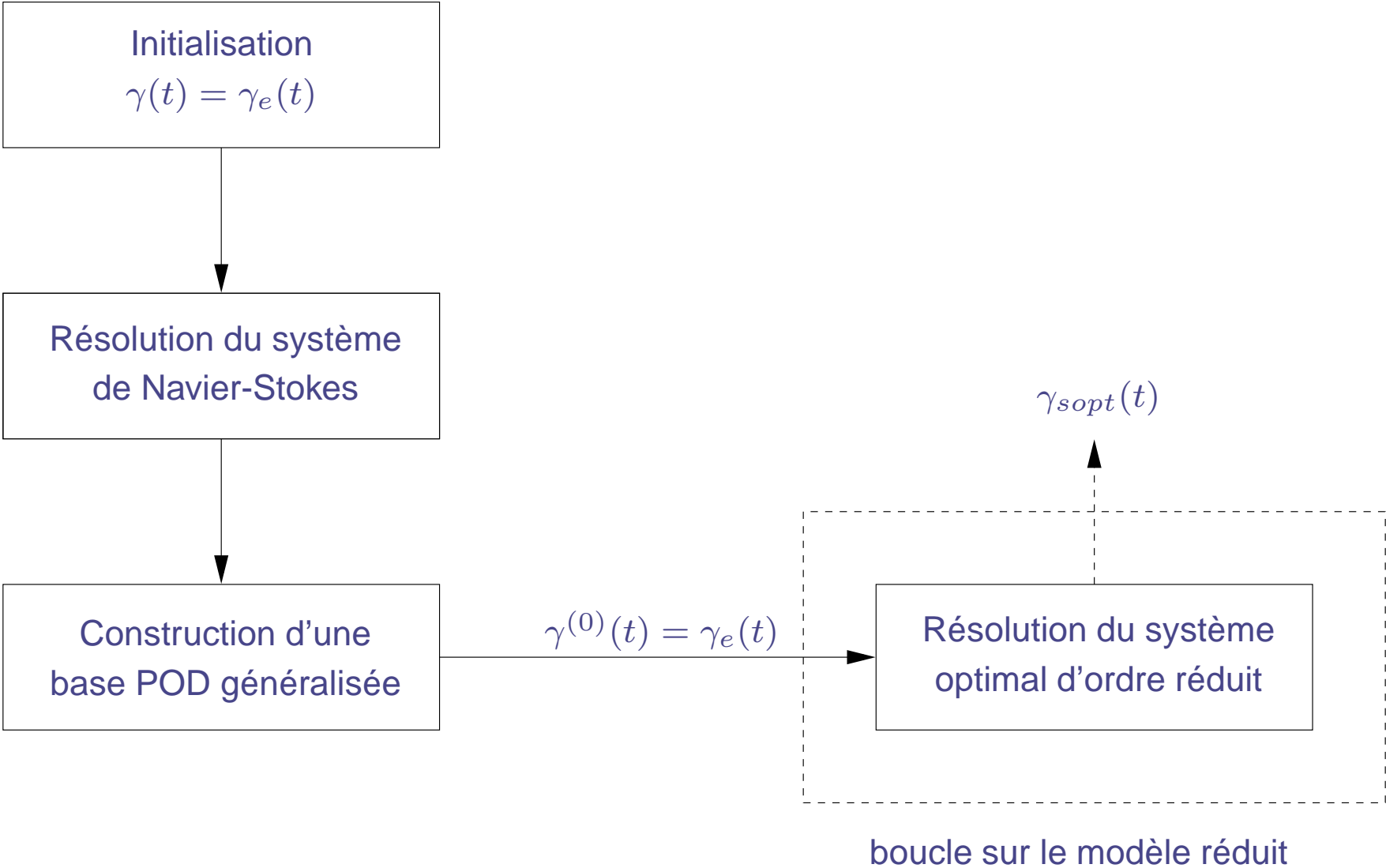


Fig. : Représentation schématique de la méthode d'optimisation sans réactualisation de la base POD.

Objectif : minimiser l'instationnarité du sillage.

► Fonctionnelle coût :

$$\mathcal{J}(\mathbf{a}, \gamma(t)) = \int_0^T J(\mathbf{a}, \gamma(t)) dt = \int_0^T \left(\sum_{i=1}^{N_{gal}} a_i^2(t) + \frac{\alpha}{2} \gamma^2(t) \right) dt.$$

α : paramètre de régularisation (pénalisation).

► Equations adjointes :

$$\begin{cases} \frac{d\xi_i(t)}{dt} = - \sum_{j=1}^{N_{gal}} \left(\mathcal{B}_{ji} + \gamma \mathcal{F}_{ji} + \sum_{k=1}^{N_{gal}} (\mathcal{C}_{jik} + \mathcal{C}_{jki}) a_k \right) \xi_j(t) - 2a_i \\ \xi_i(T) = 0. \end{cases}$$

► Condition d'optimalité :

$$\delta\gamma(t) = - \sum_{i=1}^{N_{gal}} \mathcal{D}_i \frac{d\xi_i}{dt} + \sum_{i=1}^{N_{gal}} \left(\mathcal{E}_i + \sum_{j=1}^{N_{gal}} \mathcal{F}_{ij} a_j + 2\mathcal{G}_i \gamma(t) \right) \xi_i + \alpha \gamma(t).$$

II - Base POD non réactualisée *Résolution du système optimal*

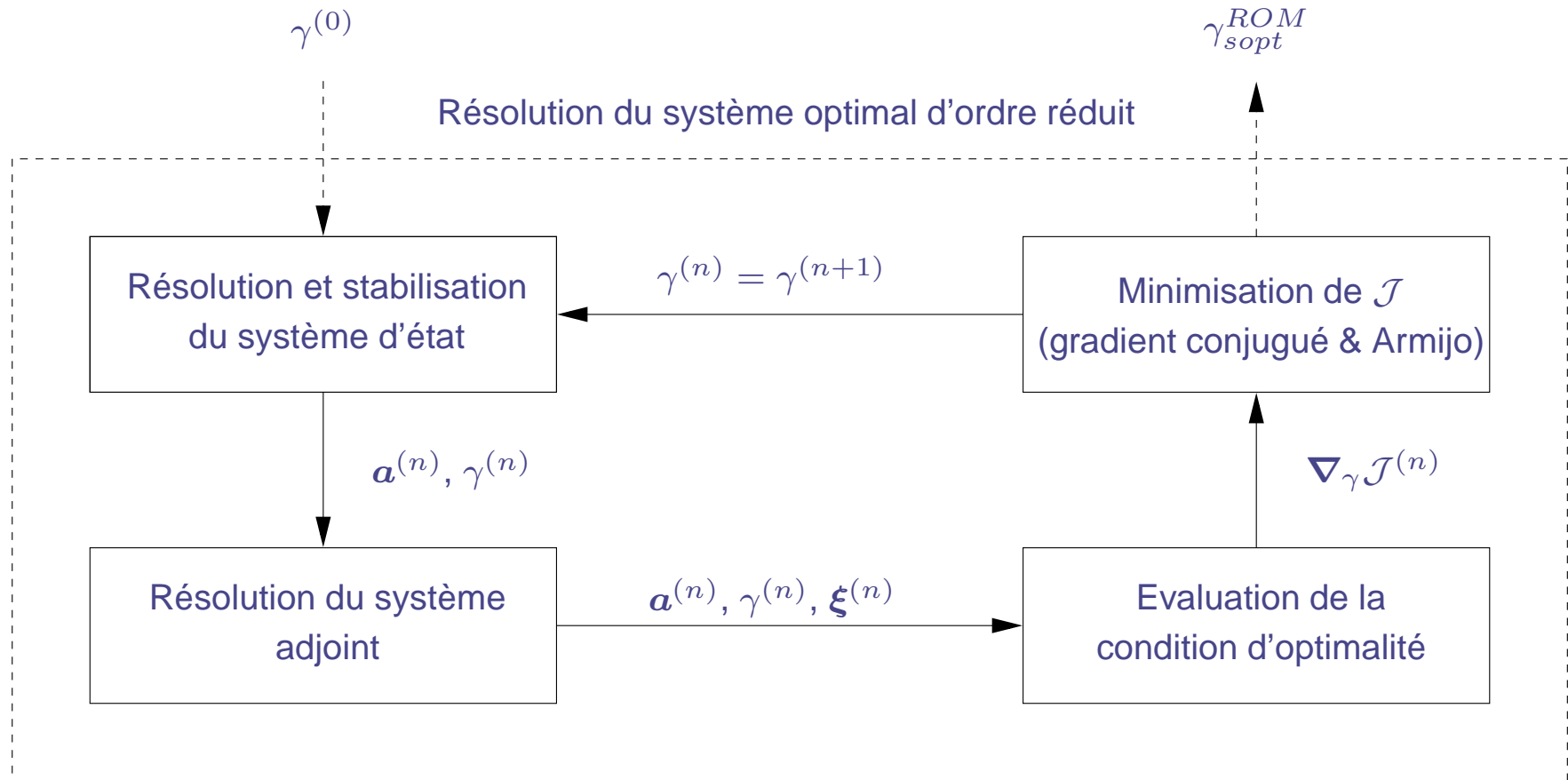


Fig. : Représentation schématique du processus de résolution du système optimal d'ordre réduit.

II - Base POD non réactualisée Généralités

► Pas de réactualisation de la base POD.

► Représentativité énergétique *a priori* différente de représentativité dynamique :

↔ inconvénient possible pour le contrôle.

↔ un système POD représente *a priori* uniquement une dynamique proche de celle utilisée pour le générer.

► Construction d'une base POD généralisée représentative d'une plus large gamme de dynamique :

↔ *excitation d'un plus grand nombre de degrés de liberté par balayage en amplitudes et en fréquences de $\gamma(t)$.*

II - Base POD non réactualisée *Excitation utilisée*

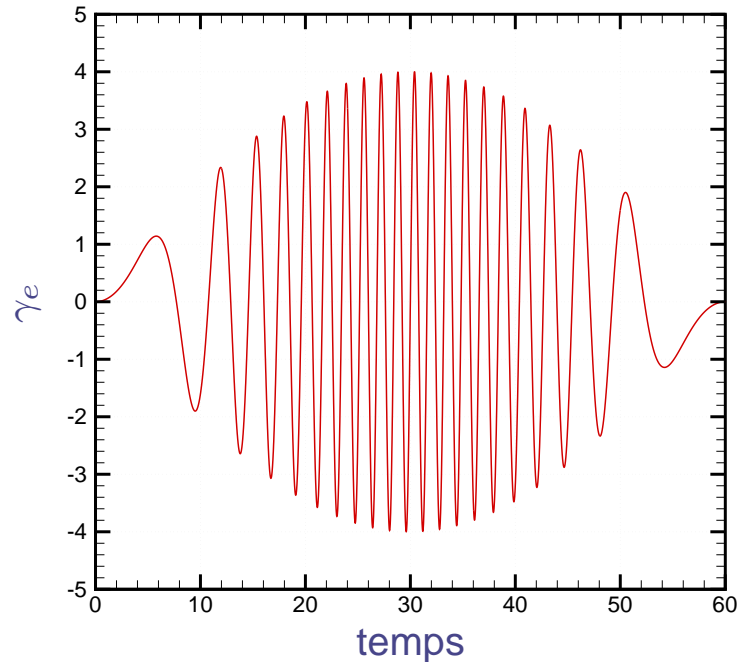


Fig. : *Excitation temporelle γ_e imposée au cylindre.*

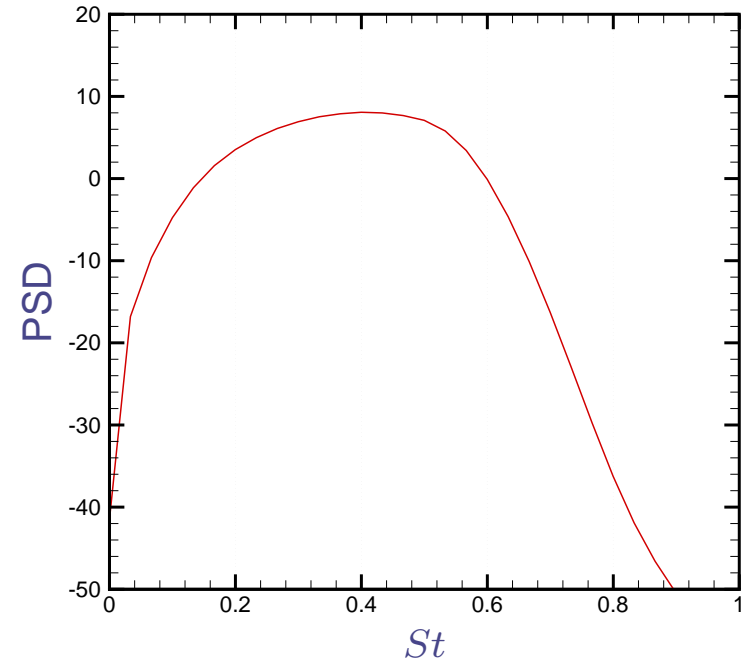


Fig. : *Densité spectrale de puissance de l'excitation temporelle γ_e .*

$$\gamma_e(t) = A_1 \sin(2\pi St_1 t) \times \sin(2\pi St_2 t - A_2 \sin(2\pi St_3 t))$$

avec $A_1 = 4$, $A_2 = 18$, $St_1 = 1/120$, $St_2 = 1/3$ et $St_3 = 1/60$.

- ▶ $0 \leq \text{amplitudes} \leq 4$ et analyse de Fourier $\Rightarrow 0 \leq \text{fréquences} \leq 0,8$
- ▶ γ_e loi de contrôle initiale dans processus itératif.

II - Base POD non réactualisée *Energie*

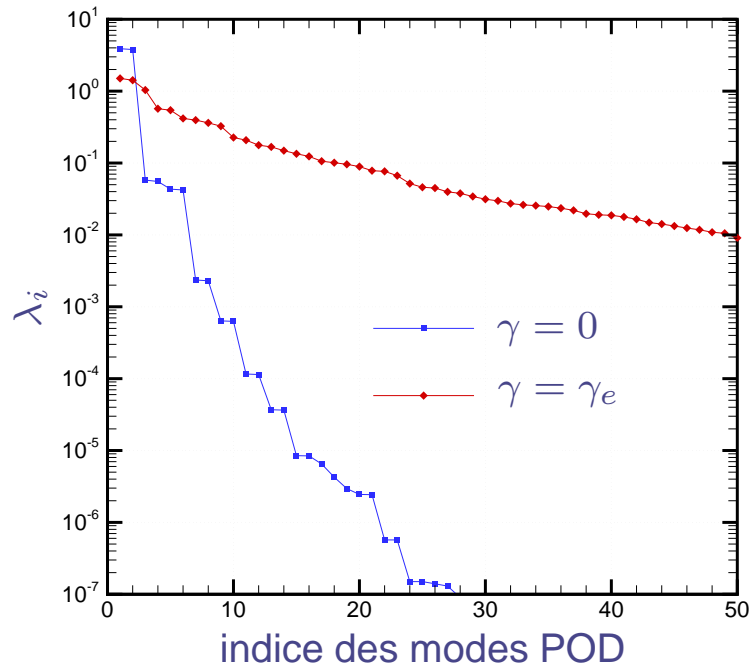


Fig. : Comparaison des spectres de valeurs propres pour l'écoulement non contrôlé ($\gamma = 0$) et pour l'écoulement manipulé ($\gamma = \gamma_e$).

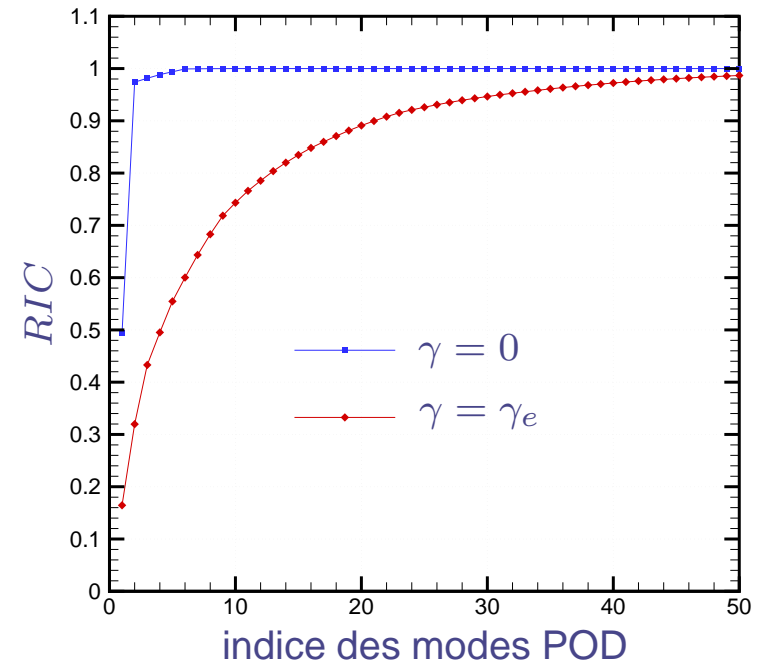


Fig. : Comparaison du contenu informationnel relatif pour l'écoulement non contrôlé ($\gamma = 0$) et pour l'écoulement manipulé ($\gamma = \gamma_e$).

► Cylindre non contrôlé, $\gamma = 0$:

↪ 2 modes sur 100 suffisent pour représenter 97% de l'énergie.

► Cylindre excité, $\gamma = \gamma_e$:

↪ 40 modes sur 100 sont nécessaires pour représenter 97% de l'énergie

⇒ Evolution de la robustesse p.r. aux évolutions dynamiques.

II - Base POD non réactualisée *Loi de contrôle sous-optimale*

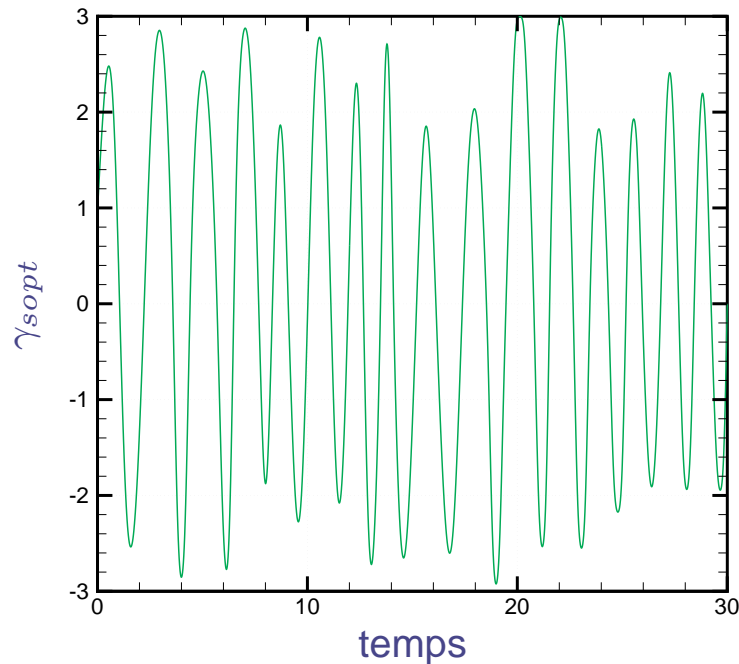


Fig. : Evolution temporelle de la loi de contrôle

γ_{sopt} .

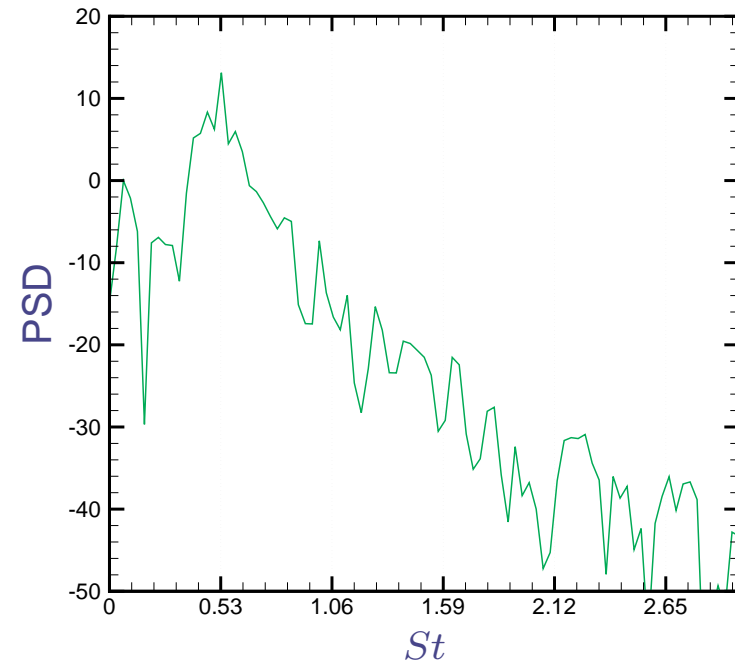


Fig. : Densité spectrale de puissance de la loi de

contrôle γ_{sopt} .

- Diminution très importante de l'instationnarité du sillage.

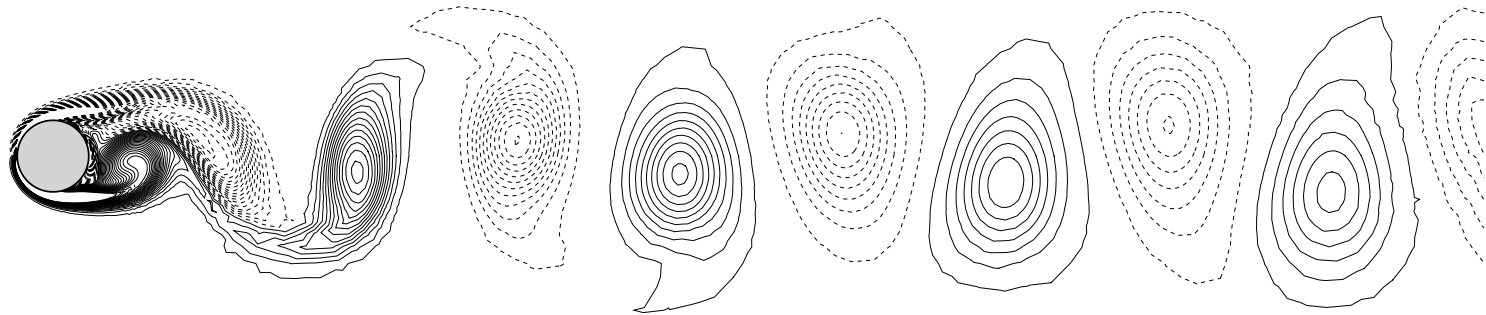
$$\mathcal{J}(\gamma_e) = 11,85 \quad \Longrightarrow \quad \mathcal{J}(\gamma_{sopt}) = 3,70.$$

$$\gamma_{sopt} \simeq A \sin(2\pi St_f t) \text{ avec } A = 2,2 \text{ et } St_f = 0,53$$

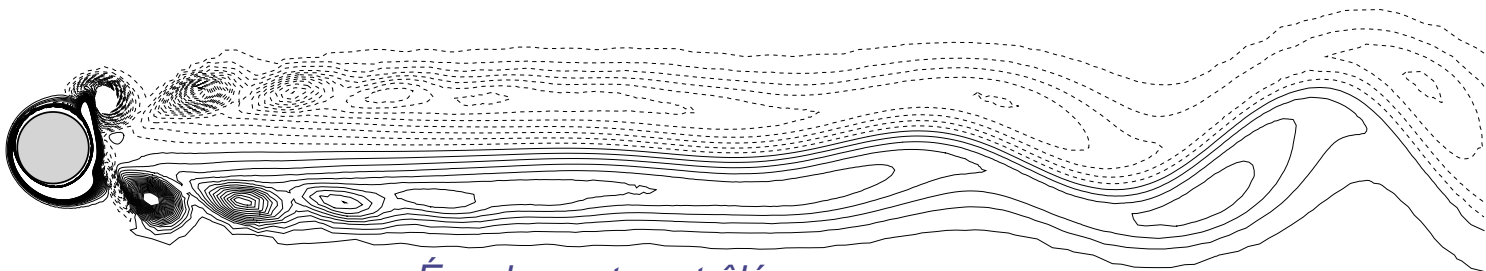
- Le contrôle est optimal pour le système POD ROM.
- Le contrôle est-il optimal pour Navier-Stokes ?

II - Base POD non réactualisée *Sillage*

- ▶ Aucune preuve mathématique d'optimalité pour Navier-Stokes.



Écoulement non contrôlé, $\gamma = 0$.



Écoulement contrôlé, $\gamma = \gamma_{opt}$.

Fig. : Isocontours de vorticité ω_z .

- ▶ Écoulement non contrôlé : $\gamma = 0 \Rightarrow$ Sillage asymétrique.
 \hookrightarrow Grosses structures porteuses d'énergie.
- ▶ Écoulement contrôlé : $\gamma = \gamma_{opt} \Rightarrow$ Sillage quasi symétrique.
 \hookrightarrow Plus petites structures \Rightarrow moins énergétiques.

II - Base POD non réactualisée *Coefficients aérodynamiques*

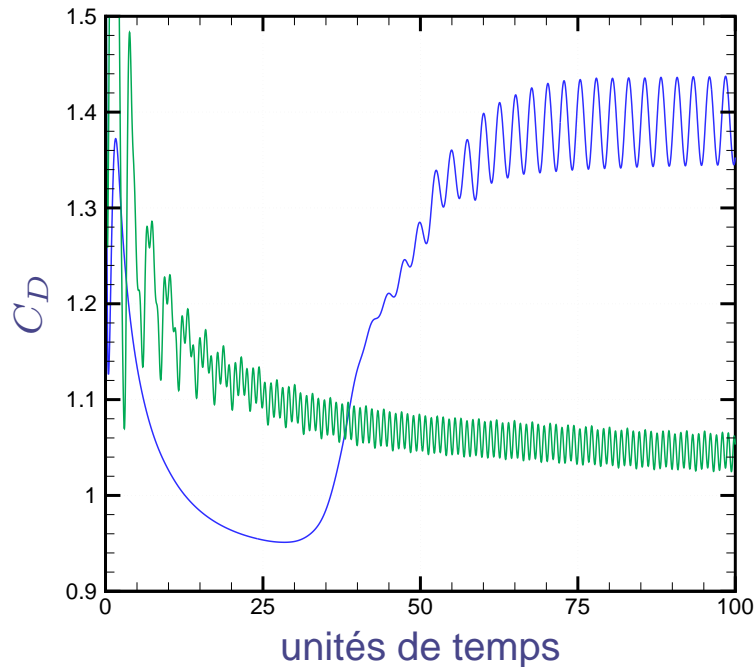


Fig. : Comparaison de l'évolution temporelle des coefficients de traînée dans le cas non contrôlé et dans le cas où le contrôle sous-optimal est appliqué.

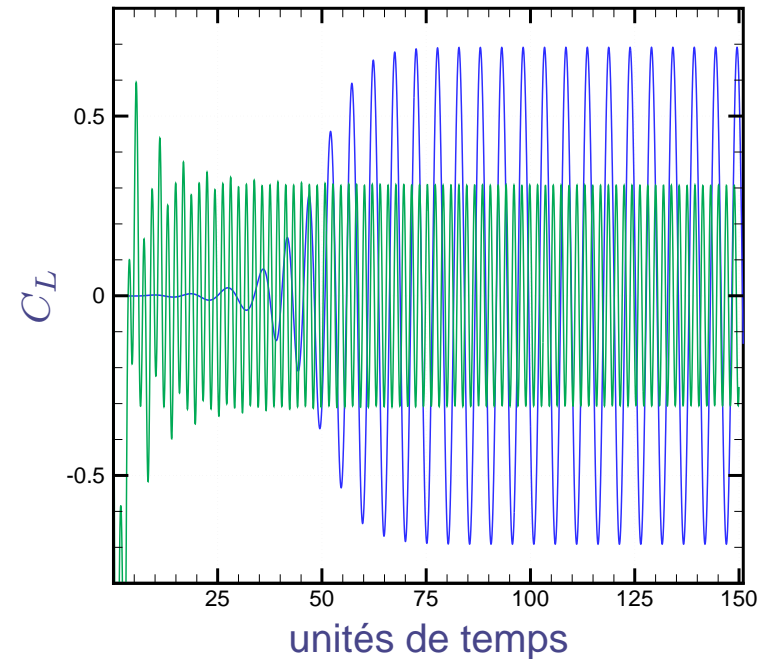


Fig. : Comparaison de l'évolution temporelle des coefficients de portance dans le cas non contrôlé et dans le cas où le contrôle sous-optimal est appliqué.

- Importante réduction de traînée :

$$C_D = 1,40 \text{ pour } \gamma = 0 \text{ et } C_D = 1,06 \text{ pour } \gamma = \gamma_{opt} \text{ (plus de 25\%)}$$

- Diminution de l'amplitude de la portance :

$$C_L = 0,68 \text{ pour } \gamma = 0 \text{ et } C_L = 0,13 \text{ pour } \gamma = \gamma_{opt}$$

II - Base POD non réactualisée *Coûts de calcul*

► Contrôle optimal Navier-Stokes par He *et al.* (2000) :

↔ loi de contrôle harmonique avec $A = 3$ et $St_f = 0,75$.

⇒ 30% de réduction de traînée.

► Contrôle *sous-optimal* POD ROM (présente étude) :

↔ loi de contrôle harmonique avec $A = 2,2$ et $St_f = 0,53$.

⇒ 25% de réduction de traînée.

● Coûts énergétiques inférieurs (gain énergétique supérieur?)

● Temps de calcul :

100 fois inférieur par POD ROM que par NSE ! (idem équations adjointes et condition d'optimalité)

● Stockage mémoire :

600 fois moins de variables par POD ROM que par NSE !

III - Base POD réactualisée *Présentation*

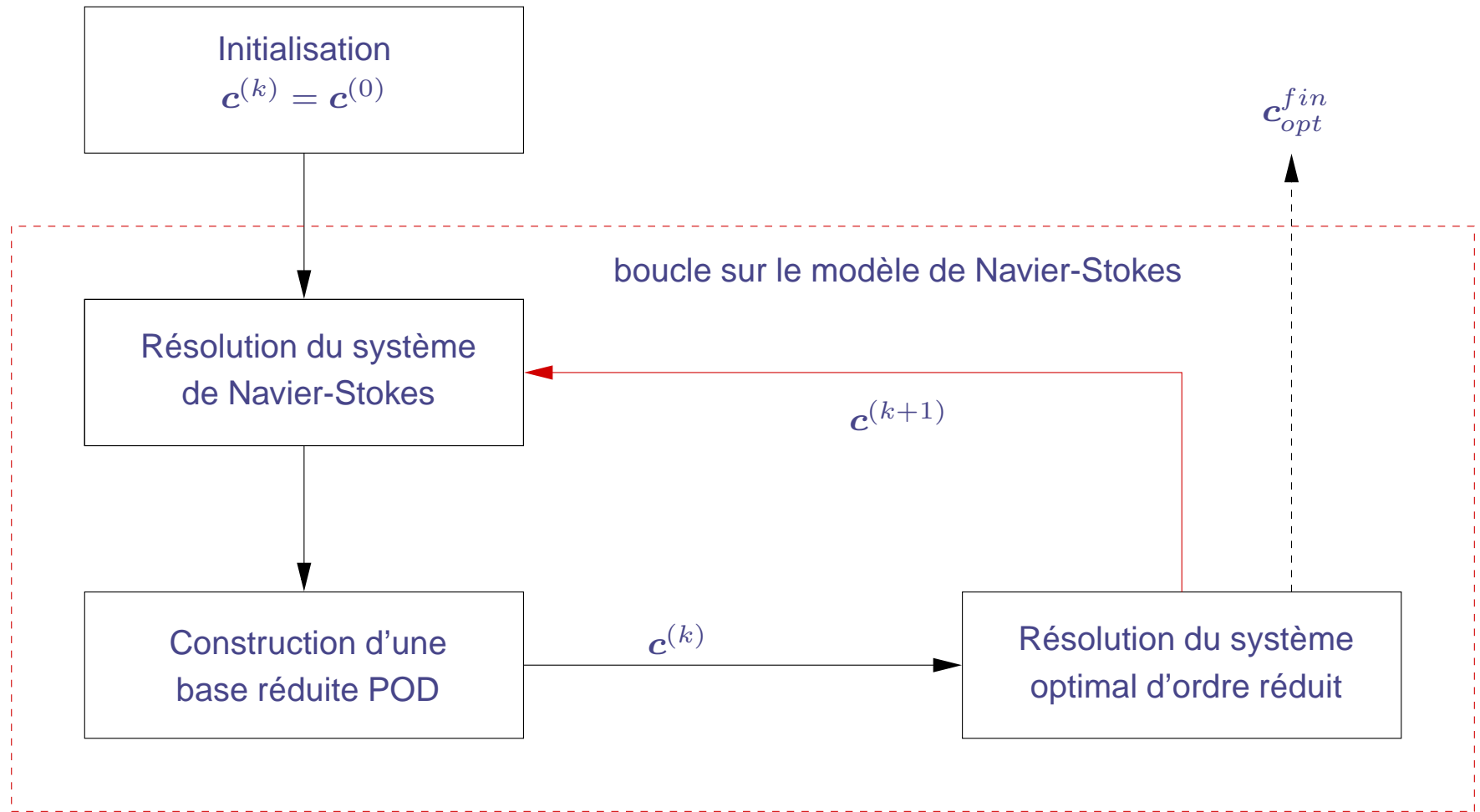
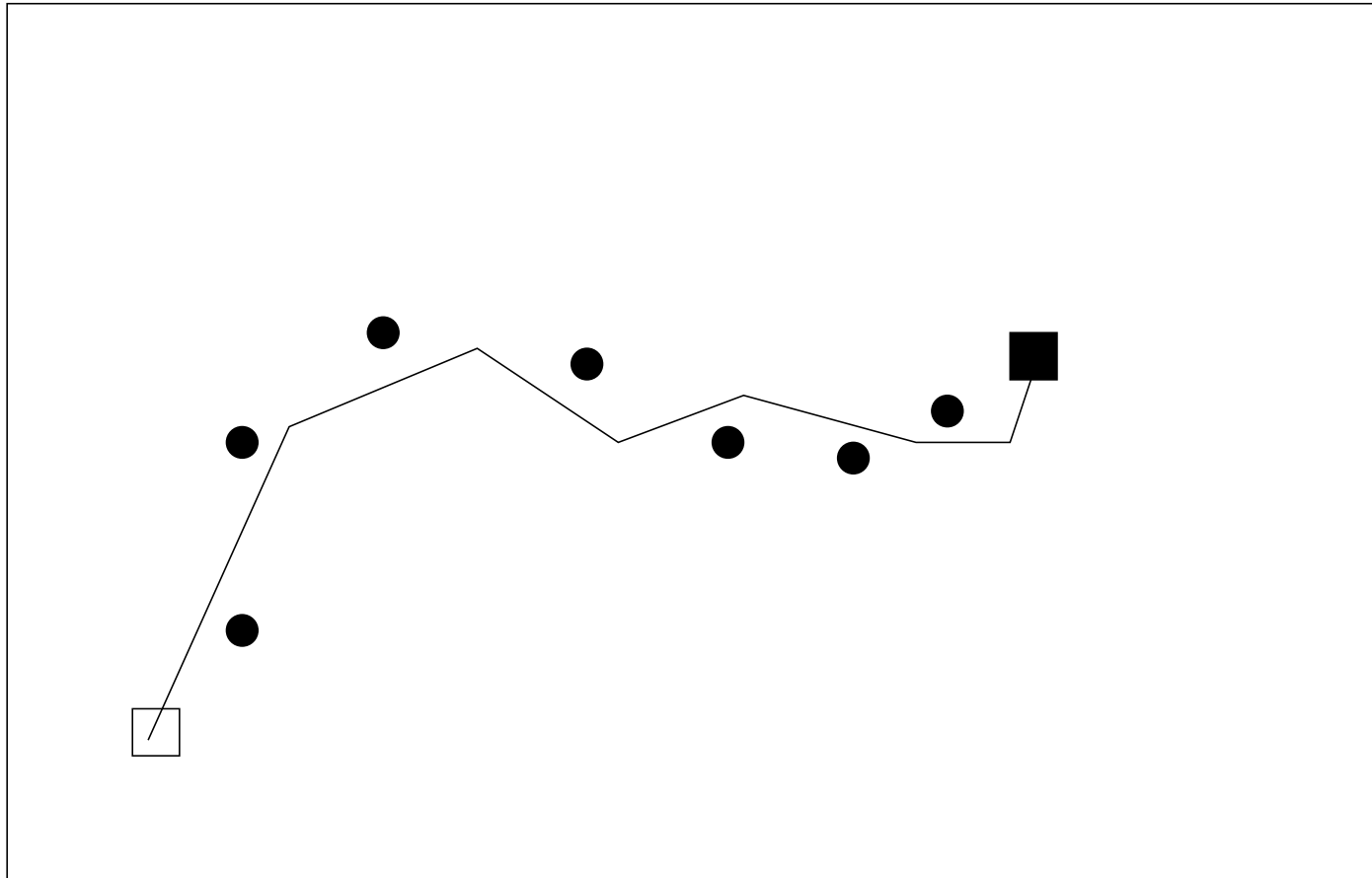


Fig. : Représentation schématique de la méthode d'optimisation avec réactualisation de la base POD.

Quand avoir recours au modèle de Navier-Stokes ?



Echantillonnage idéal.

Fig. : *Problème d'optimisation posé dans l'espace des paramètres de contrôle.*
— *chemin d'optimisation, conditions initiale \square et terminale \blacksquare du processus d'optimisation,*
● *réalisation utilisée pour la base de données.*

Quand avoir recours au modèle de Navier-Stokes ?

III - Base POD réactualisée *Modes de non-équilibre*

► Nécessité de directions non prises en compte dans la base POD initiale $\{\Phi_i\}_{i=1,\dots,N_{gal}}$

► Construction de N_{neq} modes particuliers

● Vecteur translation entre le champ moyen I et le champ moyen II :

$$\Phi_0^{I \rightarrow II} = \Phi_0^{II} - \Phi_0^I.$$

● Ajout à la base existante (Gram-Schmidt)

$$\Phi_{N_{gal}+1}^I \equiv \tilde{\Phi}_0^{I \rightarrow II}.$$

● Idem pour $\Phi_0^{I \rightarrow III}$, etc...

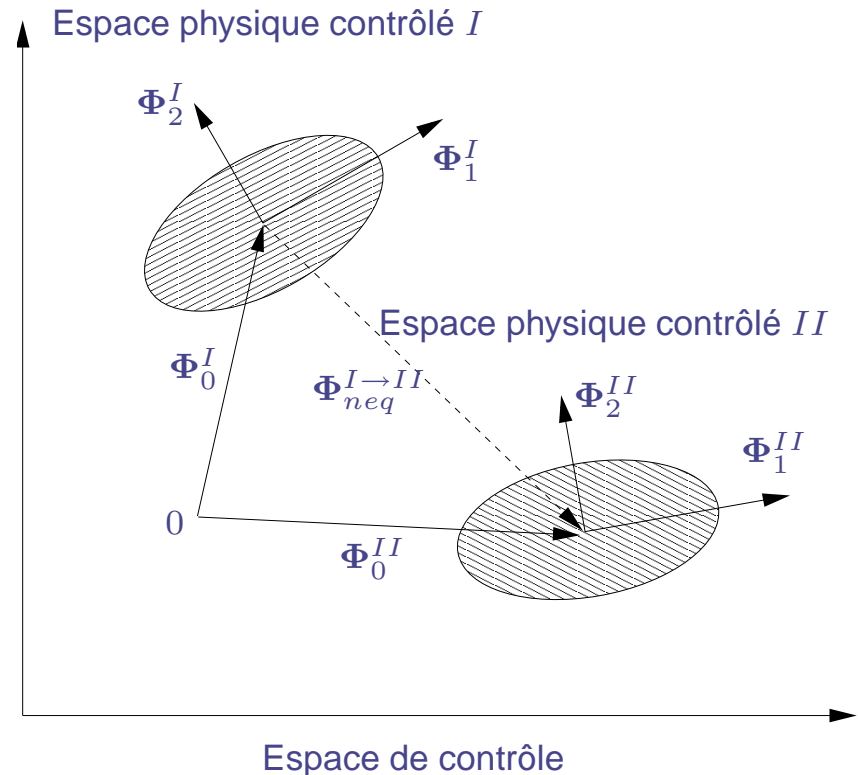


Fig. : Représentation schématique d'une transition de dynamique par utilisation d'un mode moyen de non-équilibre.

Noack, B.R., Afanasiev, K., Morzyński, M., Tadmor, G. et Thiele, F. (2003) : A hierarchy of low-dimensional models for the transient and post-transient cylinder wake. *J. Fluid Mech.*, **497** pp. 335–363.

III - Base POD réactualisée *Système dynamique d'ordre réduit*

- Décomposition de la vitesse sur $N_{gal} + N_{neq} + 1$ modes :

$$\tilde{\mathbf{u}}(\mathbf{x}, t) = \underbrace{a_0(t) \Phi_0(\mathbf{x})}_{\text{champ moyen}} + \gamma(\mathbf{c}, t) \mathbf{u}_c(\mathbf{x}) + \underbrace{\sum_{i=1}^{N_{gal}} a_i(t) \Phi_i(\mathbf{x})}_{\text{modes POD Galerkin}} + \underbrace{\sum_{i=N_{gal}+1}^{N_{gal}+N_{neq}} a_i(t) \Phi_i(\mathbf{x})}_{\text{modes de non-équilibre}}.$$

- Système dynamique avec $N_{gal} + N_{neq} + 1$ modes retenus (équations d'état) :

$$\left\{ \begin{array}{l} \frac{da_i(t)}{dt} = \sum_{j=0}^{N_{gal}+N_{neq}} \mathcal{B}_{ij} a_j(t) + \sum_{j=0}^{N_{gal}+N_{neq}} \sum_{k=0}^{N_{gal}+N_{neq}} \mathcal{C}_{ijk} a_j(t) a_k(t) \\ \quad + \mathcal{D}_i \frac{d\gamma(\mathbf{c}, t)}{dt} + \left(\mathcal{E}_i + \sum_{j=0}^{N_{gal}+N_{neq}} \mathcal{F}_{ij} a_j(t) \right) \gamma(\mathbf{c}, t) + \mathcal{G}_i \gamma^2(\mathbf{c}, t). \\ a_i(0) = (\mathbf{u}(\mathbf{x}, 0), \Phi_i(\mathbf{x})). \end{array} \right.$$

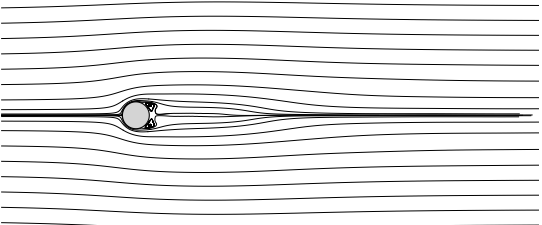
$\mathcal{B}_{ij}, \mathcal{C}_{ijk}, \mathcal{D}_i, \mathcal{E}_i, \mathcal{F}_{ij}$ et \mathcal{G}_i dépendent de Φ , \mathbf{u}_c et Re .

III - Base POD réactualisée *Aspects physiques et dynamiques des modes POD*

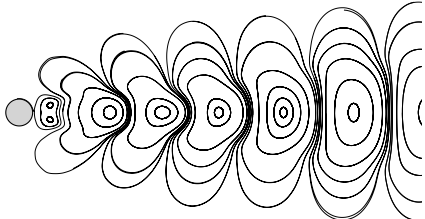
Aspects physiques	Modes	Aspects dynamiques
fonction de contrôle	\mathbf{u}_c	dynamique pré-déterminée
mode écoulement moyen	$\mathbf{u}_m, i = 0$	$a_0 = Cste$
modes POD Galerkin correspondent à la physique de l'écoulement	$i = 1$	Système dynamique modes déterminés par intégration du système dynamique (le mode $i = 0$ peut également être résolu et $a_0 \equiv a_0(t)$)
	$i = 2$	
	...	
	$i = N_{gal}$	
modes de non-équilibre correspondent à des directions privilegiées	$i = N_{gal} + 1$	
	...	
	$i = N_{gal} + N_{neq}$	

Tab. : *Descriptif des aspects physiques et dynamiques des modes présents dans la décomposition sur la base POD, augmentée des modes de non-équilibre.*

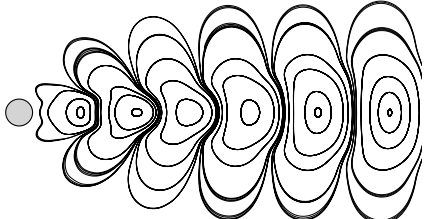
III - Base POD réactualisée Modes POD Galerkin et modes de non-équilibre



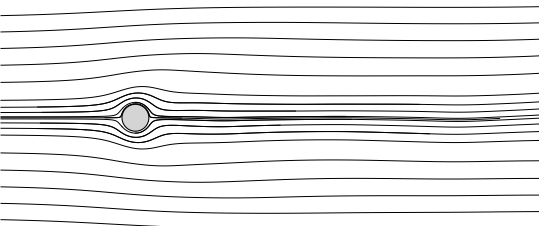
Éclt. contrôlé (I) moyen



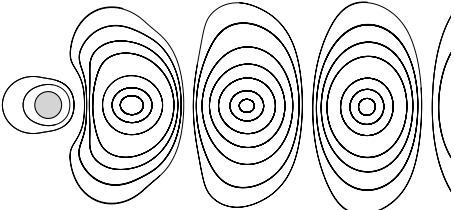
1er mode POD de I



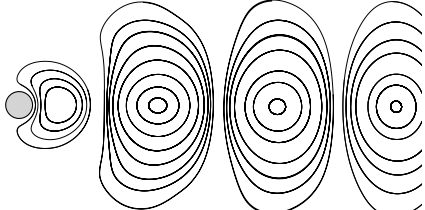
2nd mode POD de I



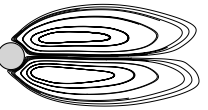
Éclt. contrôlé (II) moyen



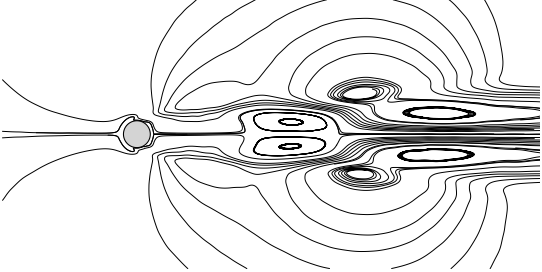
1er mode POD de II



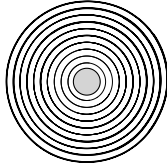
2nd mode POD de II



Mode shift de I vers II



Mode shift de I vers base



Fonction de contrôle

Fig. : Représentation de modes Galerkin, de la fonction de contrôle u_c , et de modes de non-équilibre présents dans la base POD

► Opérateur de traînée

$$\mathcal{C}_D : \mathbb{R}^3 \mapsto \mathbb{R}$$

$$\mathbf{u} \mapsto 2 \int_{\Gamma_c} \left(u_3 n_x - \frac{1}{Re} \frac{\partial u_1}{\partial x} n_x - \frac{1}{Re} \frac{\partial u_1}{\partial y} n_y \right) d\Gamma.$$

► En variables réduites,

↔ Coefficient de traînée réel Navier-Stokes $C_D = \mathcal{C}_D(\mathbf{U})$ avec $\mathbf{U} = (u, v, p)^T$

↔ Coefficient de traînée modélisé par POD $\tilde{C}_D = \mathcal{C}_D(\tilde{\mathbf{U}})$ avec $\tilde{\mathbf{U}} = (\tilde{u}, \tilde{v}, \tilde{p})^T$

► Problème : \tilde{p} n'est pas connu

↔ La base POD est étendue au champ de pression : $\Phi = (\Phi, \Phi^p)^T$

$$\Rightarrow \text{Corrélations avec pression } C(t, t') = \frac{1}{T} \int_{\Omega} U_i(\mathbf{x}, t) U_i(\mathbf{x}, t') d\mathbf{x}$$

► Décomposition

$$\tilde{\mathbf{U}}(\mathbf{x}, t) = \gamma(\mathbf{c}, t) \mathbf{U}_c(\mathbf{x}) + \underbrace{\sum_{i=0}^{N_{gal}} a_i(t) \Phi_i(\mathbf{x})}_{\text{modes POD Galerkin}} + \underbrace{\sum_{i=N_{gal}+1}^{N_{gal}+N_{neq}} a_i(t) \Phi_i(\mathbf{x})}_{\text{modes de non-équilibre}}.$$

► Evolution du coefficient de traînée modélisé par POD

$$\tilde{C}_D(\mathbf{a}) = \sum_{i=0}^{N_{gal}} a_i(t) N_i + \sum_{i=N_{gal}+1}^{N_{gal}+N_{neq}} a_i(t) N_i \quad \text{avec} \quad N_i = C_D(\Phi_i).$$

► Fonction objectif modélisée par POD (coefficient de traînée moyen)

$$\tilde{\mathcal{J}}(\mathbf{a}) = \frac{1}{T} \int_0^T \sum_{i=0}^{N_{gal}+N_{neq}} a_i(t) N_i dt.$$

► Système dynamique adjoint :

$$\left\{ \begin{array}{l} \frac{d\xi_i(t)}{dt} = - \sum_{j=0}^{N_{gal}+N_{neq}} \left(\mathcal{B}_{ji} + \gamma(\mathbf{c}, t) \mathcal{F}_{ji} + \sum_{k=0}^{N_{gal}+N_{neq}} (\mathcal{C}_{jik} + \mathcal{C}_{jki}) a_k(t) \right) \xi_j(t) - \frac{1}{T} N_i, \\ \xi_i(T) = 0. \end{array} \right.$$

► Conditions d'optimalité

$$\nabla_{\mathbf{c}} \mathcal{L} = \int_0^T \left(\sum_{i=0}^{N_{gal}+N_{neq}} \mathcal{L}_i \right) \nabla_{\mathbf{c}} \gamma dt.$$

$$\text{avec } \mathcal{L}_i = -\frac{d\xi_i}{dt} \mathcal{D}_i + \xi_i \left(\mathcal{E}_i + \sum_{j=0}^{N_{gal}+N_{neq}} \mathcal{F}_{ij} a_j + 2\gamma(\mathbf{c}, t) \mathcal{G}_i \right)$$

III - Base POD réactualisée Formulation contrôle optimal POD ROM

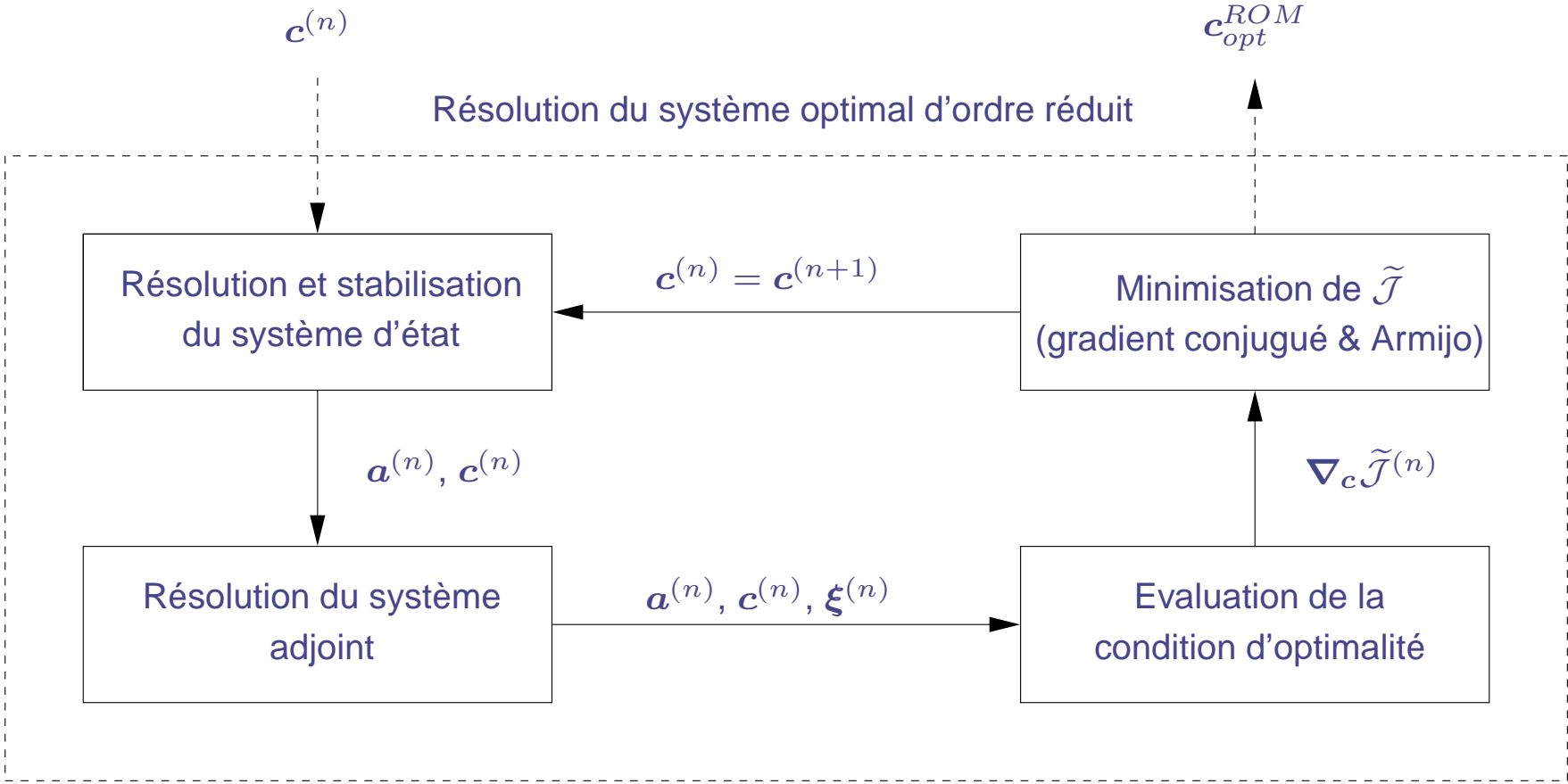


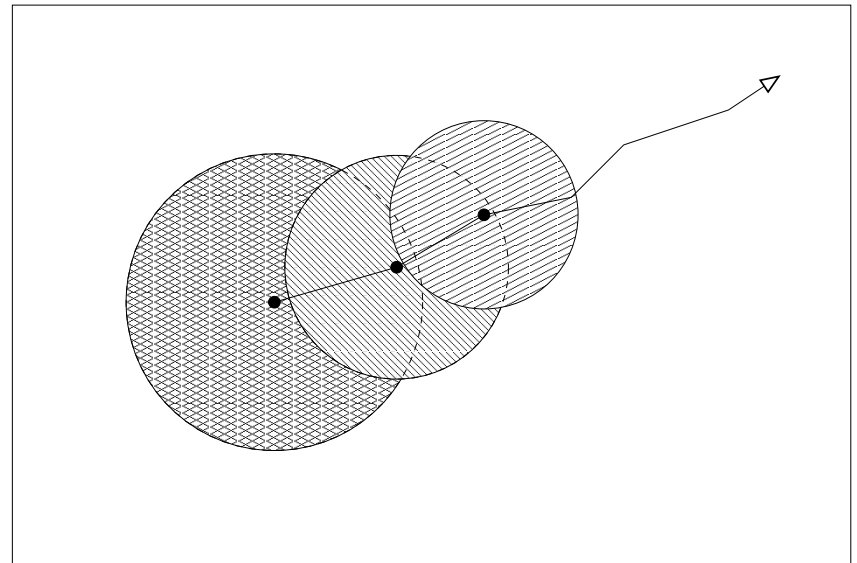
Fig. : Représentation schématique du processus de résolution du système optimal d'ordre réduit.

III - Base POD réactualisée *Résolution du problème d'optimisation*

Quand avoir recours au modèle de Navier-Stokes pour "rafraîchir" la base POD ?

→ Déterminer un domaine de validité du modèle réduit

- Domaine "infini" (pas de contraintes)
- Détermination empirique : méthode adaptative
- Détermination automatique : méthode à région de confiance (TRPOD)



Avantages TRPOD

- ▶ Pas d'empirisme
- ▶ Preuves de convergence de la solution sous certaines conditions
- ▶ Coûts de calcul identiques à méthode adaptative

Conn, A.R., Gould, N.I.M. et Toint, P.L. (2000) : Trust-region methods. *SIAM, Philadelphia*.

III - Base POD réactualisée *Méthode adaptative*

Initialisation : c_0 , résolution du modèle de Navier-Stokes. $k = 0$.

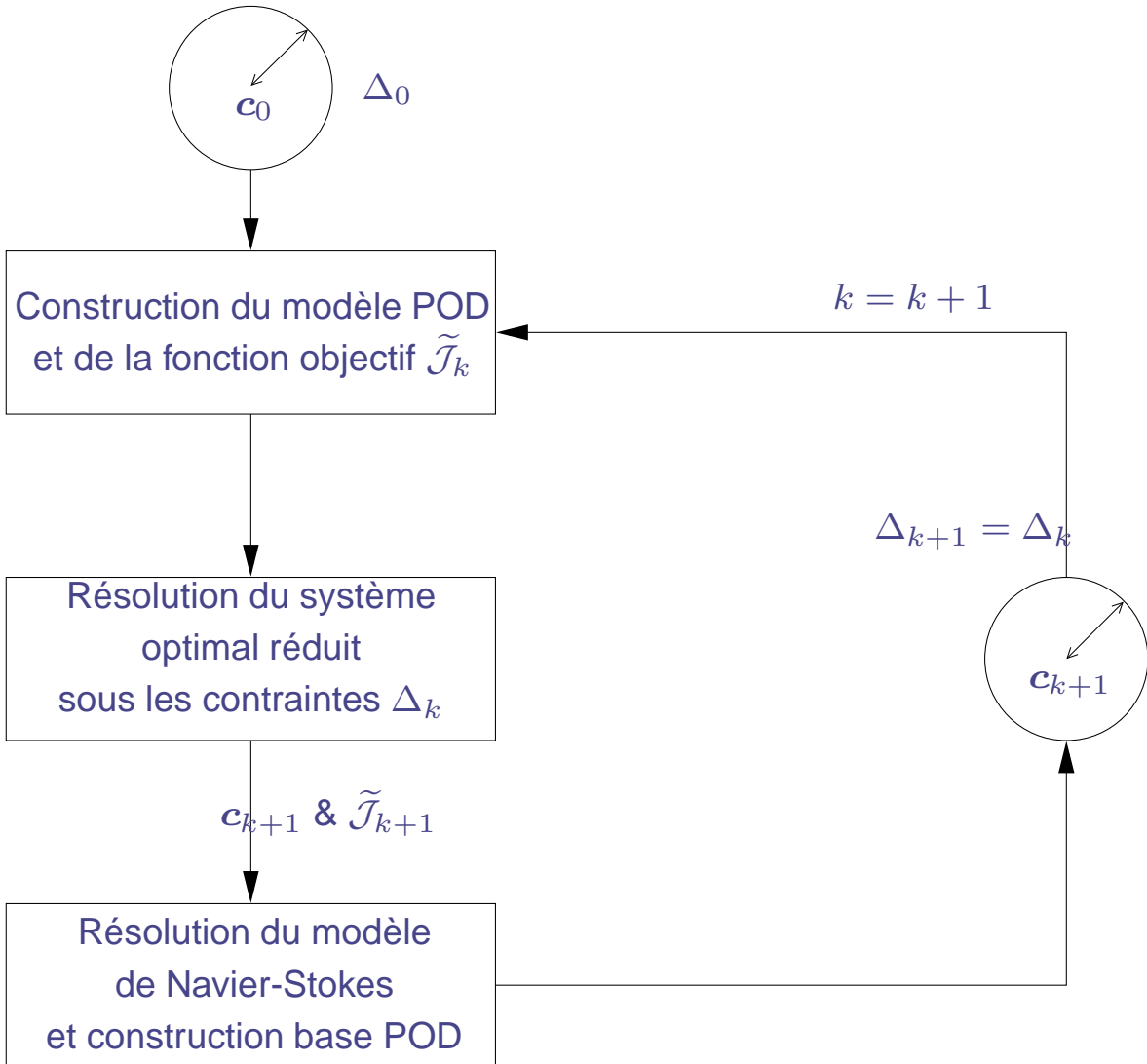
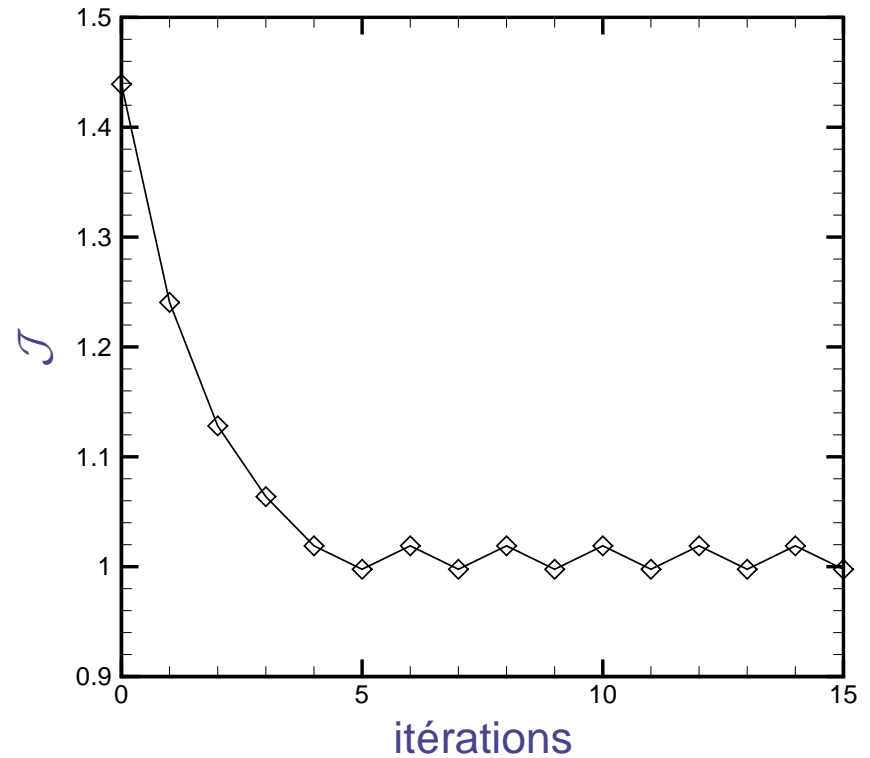
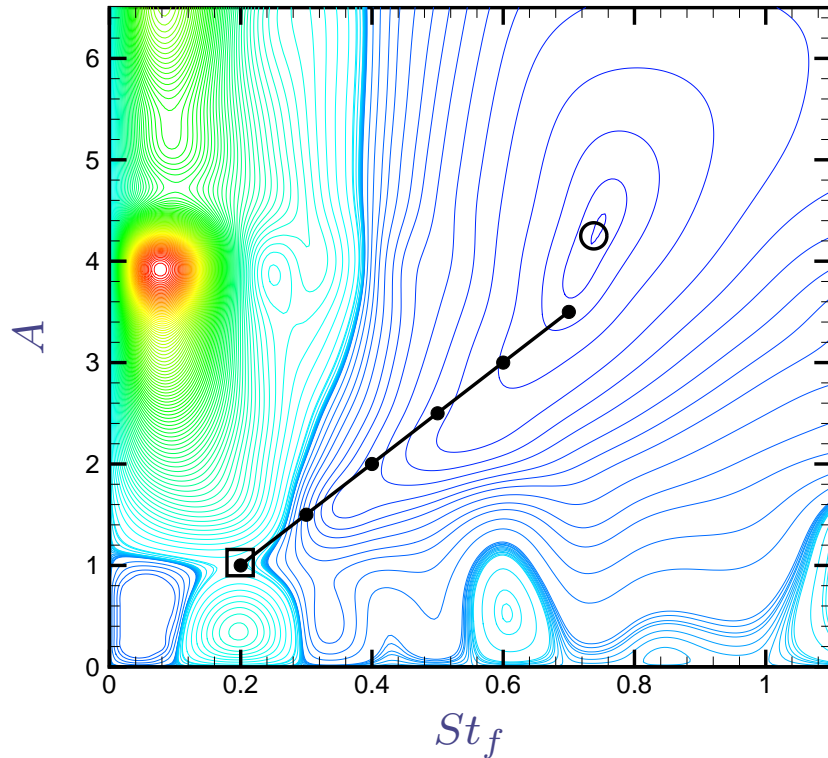


Fig. : Schématisation de la méthode adaptative.

III - Base POD réactualisée *Méthode adaptative*

Paramètres de contrôle initiaux : $A = 1,0$ et $St_f = 0,2$



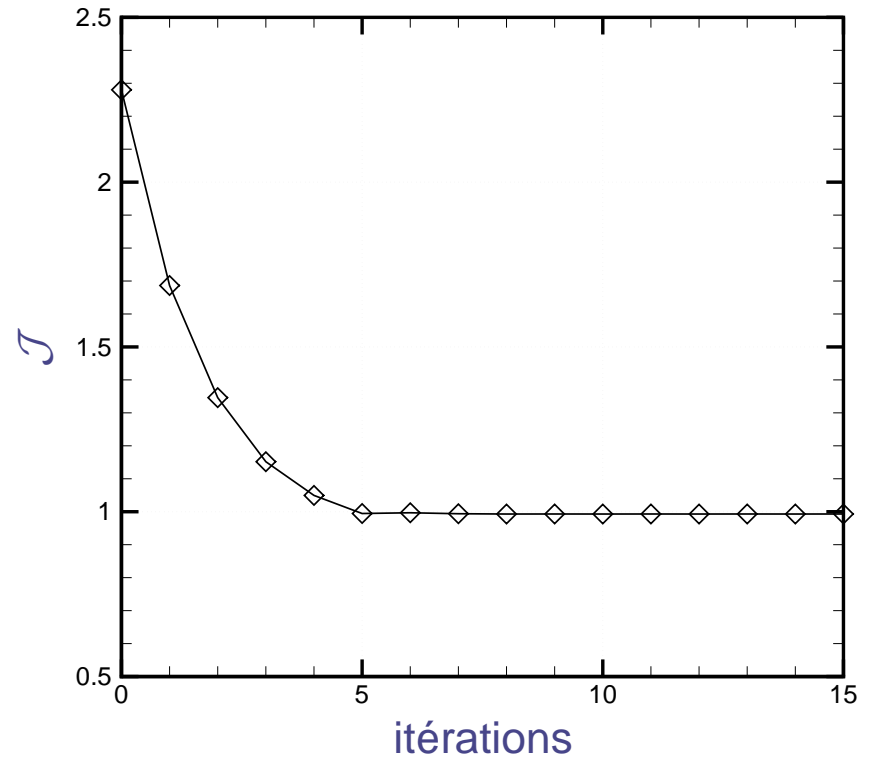
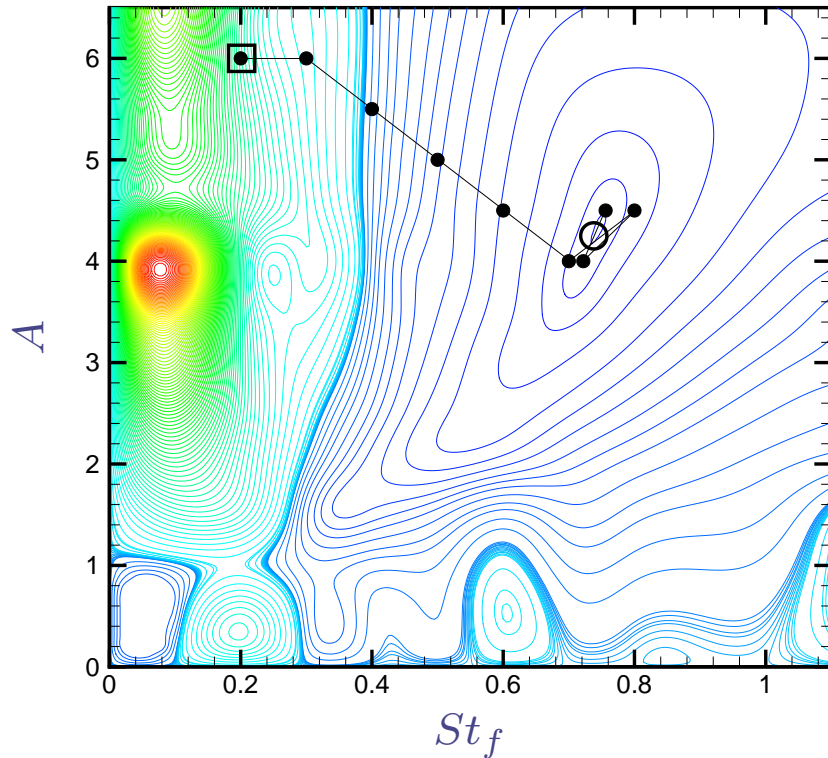
Paramètres de contrôle obtenus : oscillations autour de $A = 3,25$ et $St_f = 0,65$

Coefficient de traînée moyen : $\mathcal{J} = 1,01$

Pas de convergence...

III - Base POD réactualisée *Méthode adaptative*

Paramètres de contrôle initiaux : $A = 6,0$ et $St_f = 0,2$



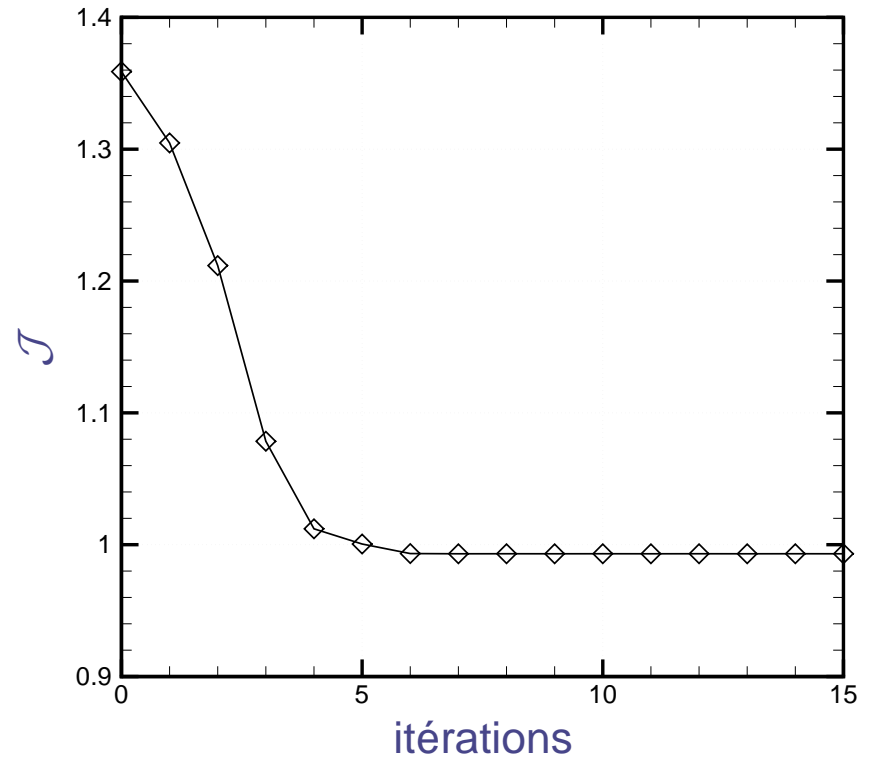
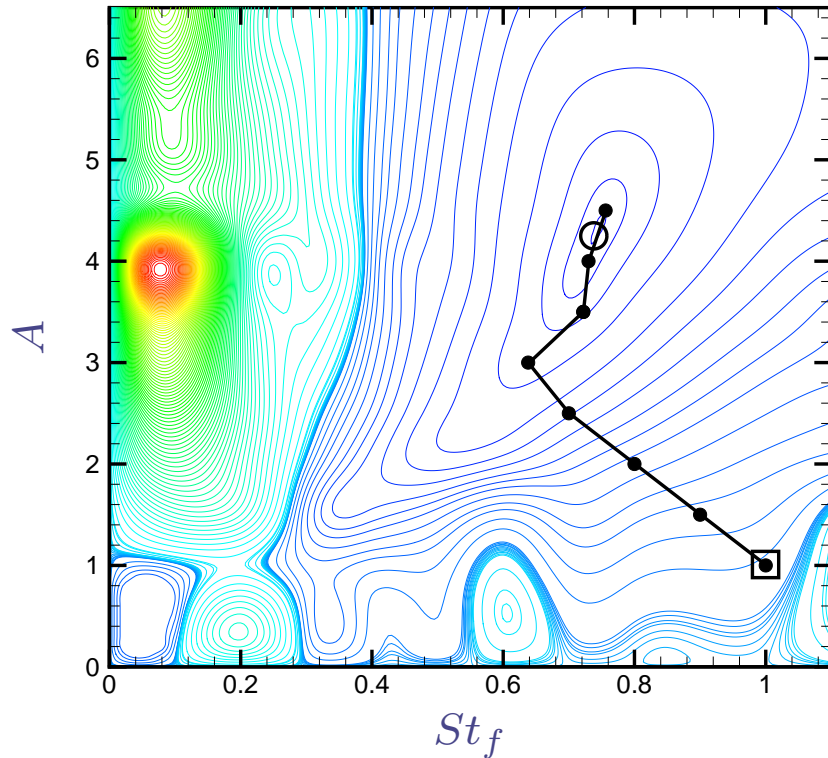
Paramètres de contrôle obtenus : oscillations autour de $A = 4,25$ et $St_f = 0,74$

Coefficient de traînée moyen : $\mathcal{J} = 0,993$

Pas de convergence...

III - Base POD réactualisée *Méthode adaptative*

Paramètres de contrôle initiaux : $A = 1,0$ et $St_f = 1,0$



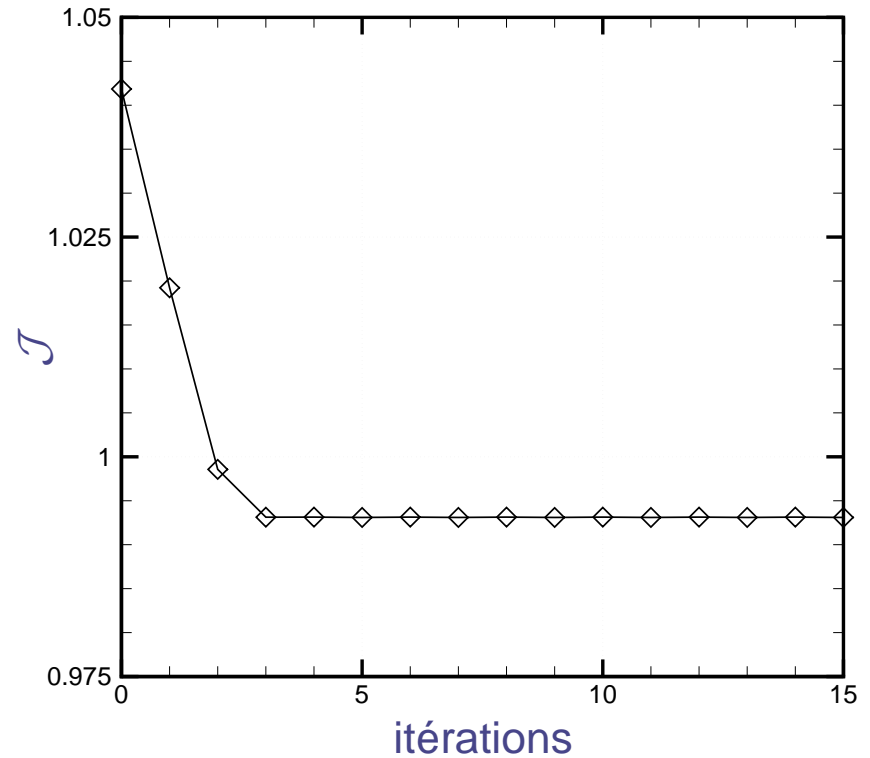
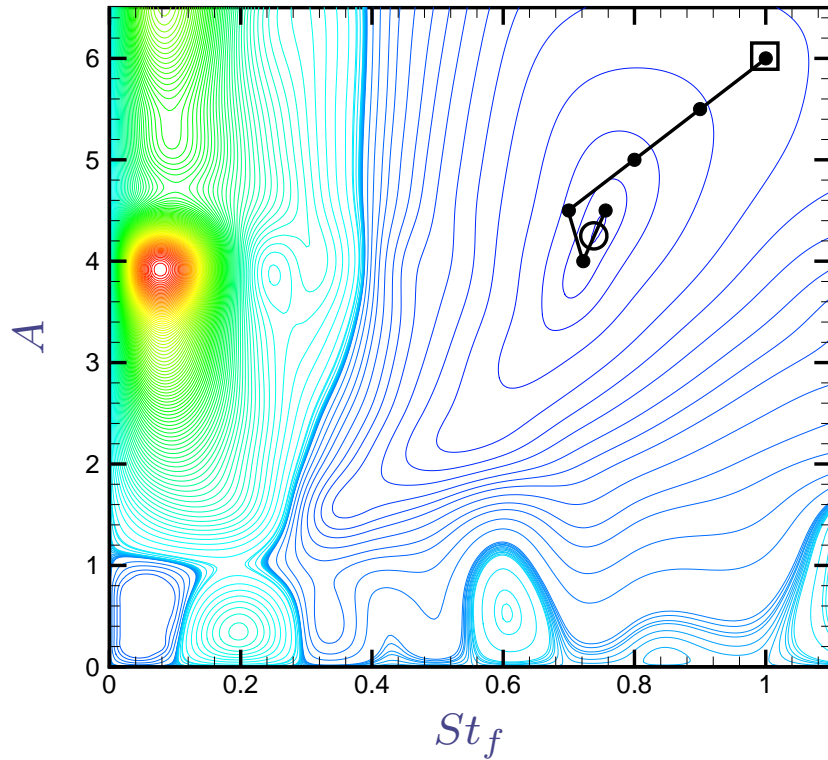
Paramètres de contrôle obtenus : oscillations autour de $A = 4,25$ et $St_f = 0,74$

Coefficient de traînée moyen : $\mathcal{J} = 0,993$

Pas de convergence...

III - Base POD réactualisée *Méthode adaptative*

Paramètres de contrôle initiaux : $A = 6,0$ et $St_f = 1,0$



Paramètres de contrôle obtenus : oscillations autour de $A = 4,25$ et $St_f = 0,74$

Coefficient de traînée moyen : $\mathcal{J} = 0,993$

Pas de convergence...

III - Base POD réactualisée *Méthode à région de confiance (TRPOD)*

Initialisation : c_0 , résolution du modèle de Navier-Stokes, \mathcal{J}_0 . $k = 0$.

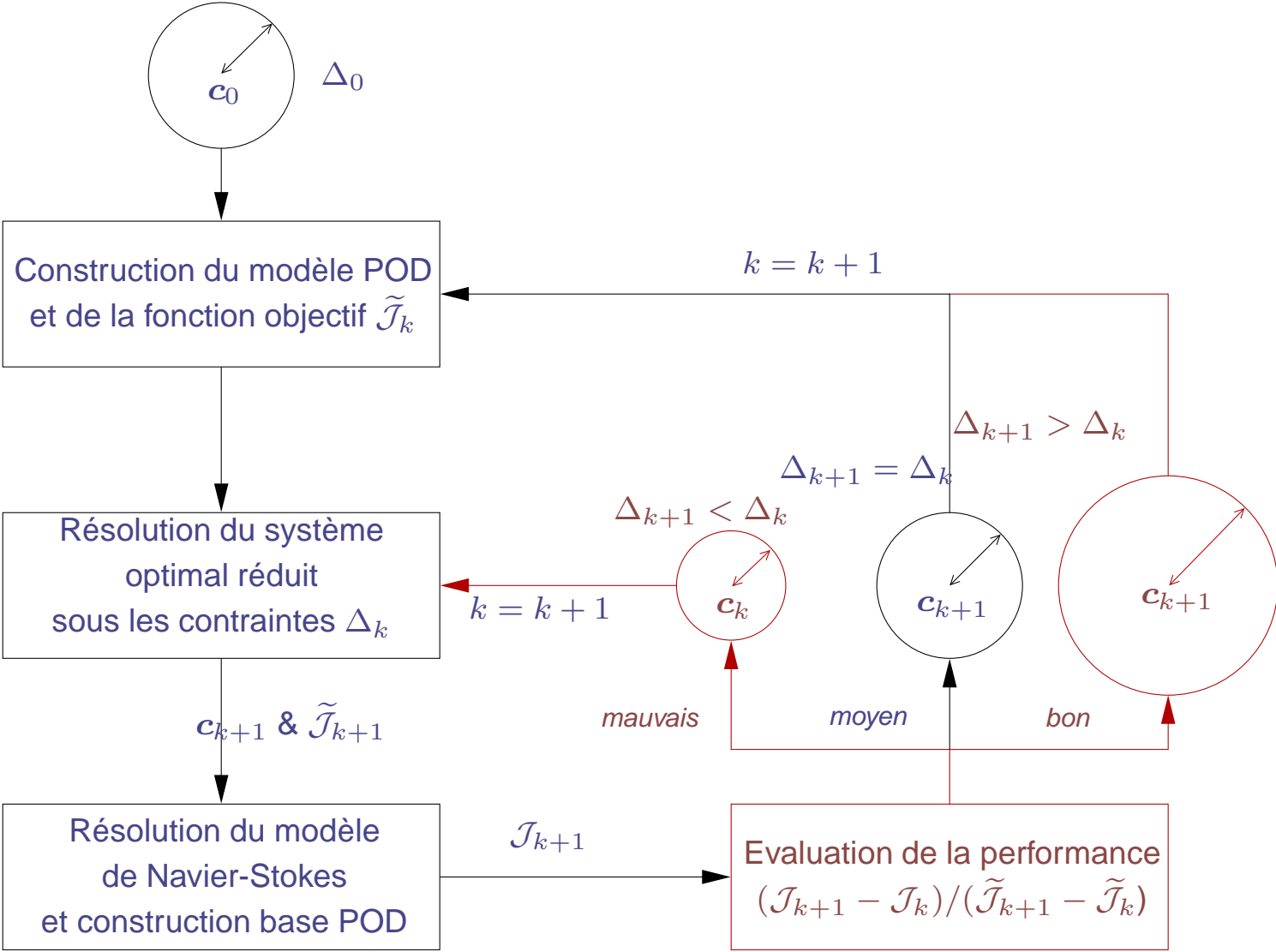
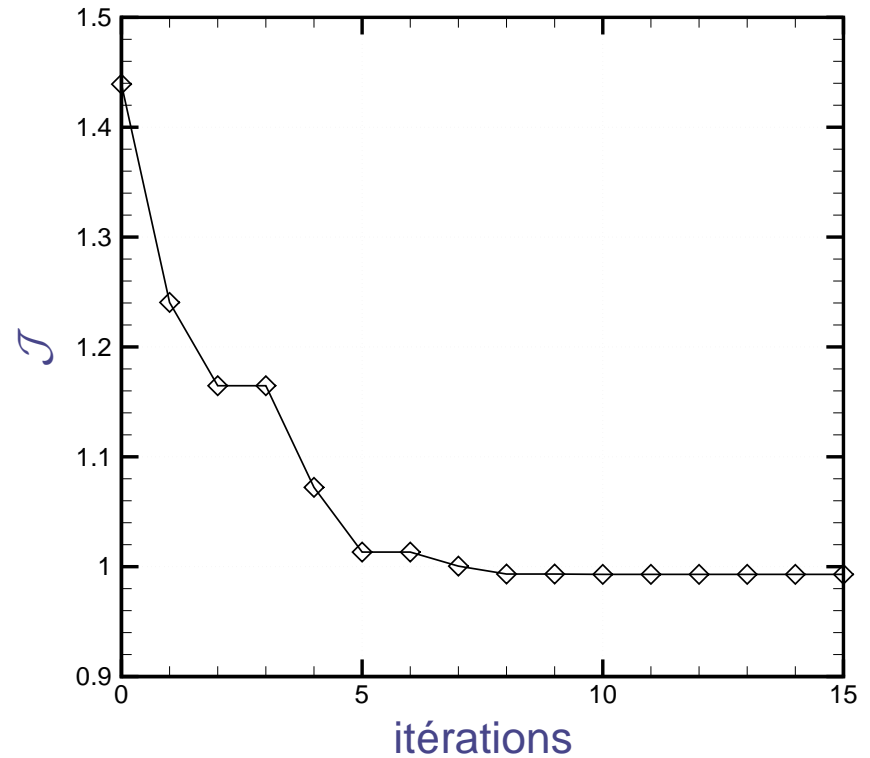
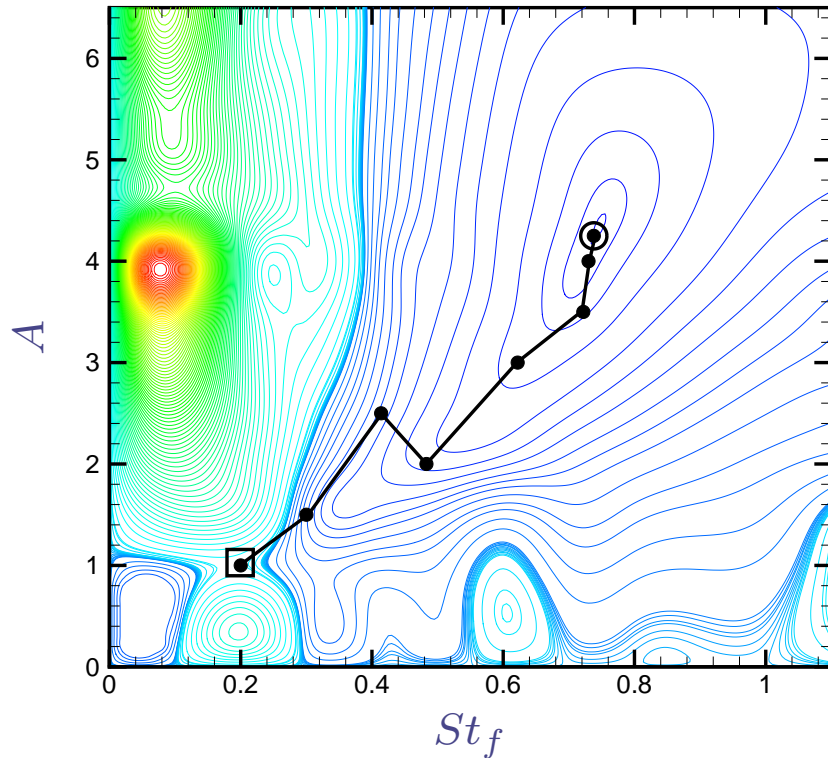


Fig. : Schématisation de la méthode à région de confiance.

III - Base POD réactualisée *Méthode à région de confiance (TRPOD)*

Paramètres de contrôle initiaux : $A = 1,0$ et $St_f = 0,2$

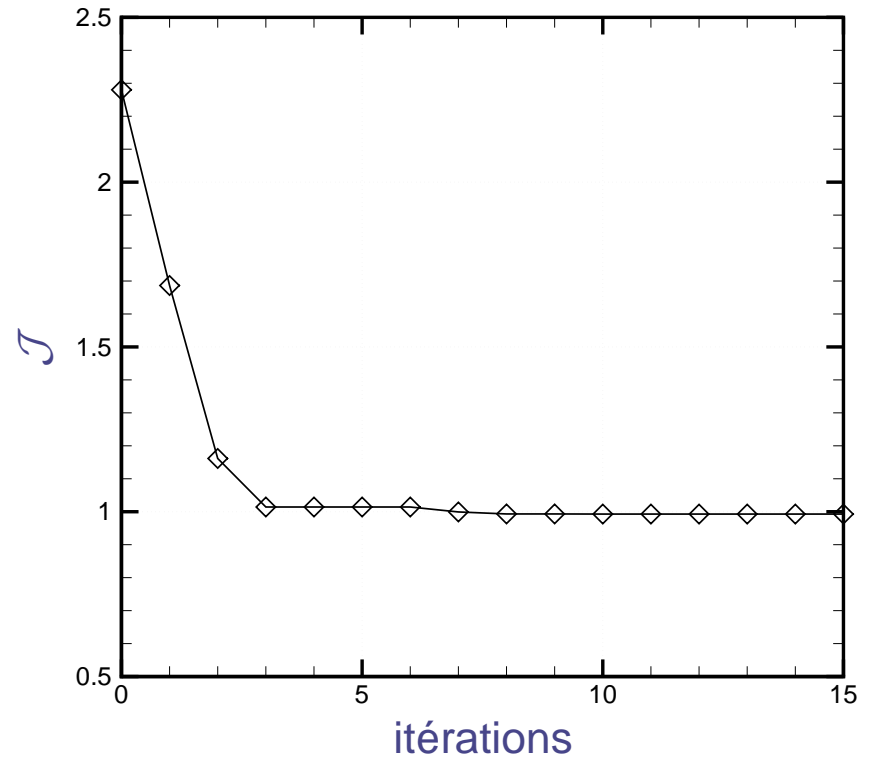
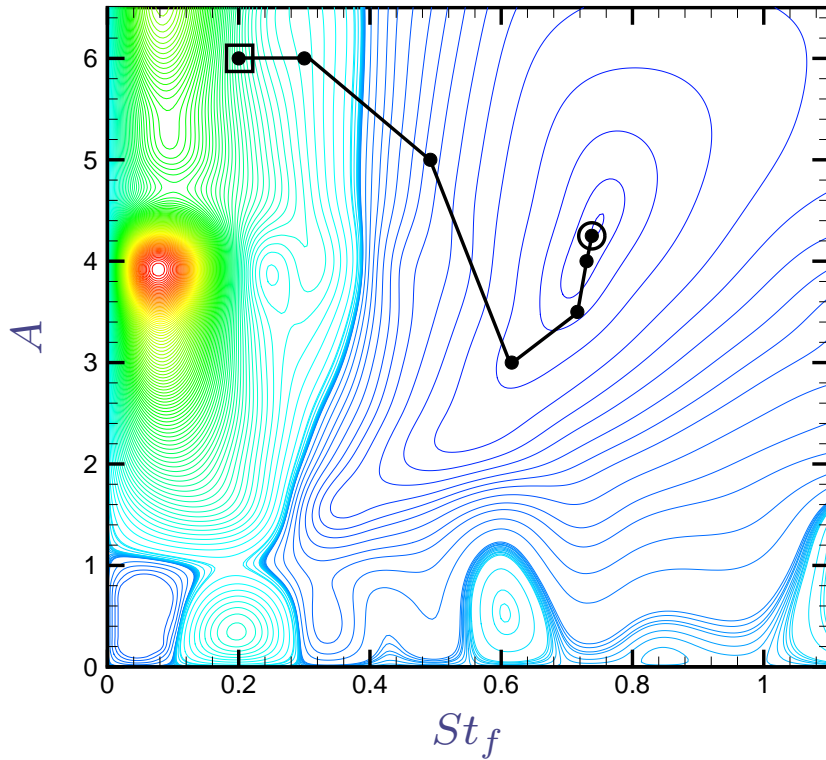


Paramètres de contrôle optimaux : $A = 4,25$ et $St_f = 0,74$

Convergence : coefficient de traînée moyen : $\mathcal{J} = 0,993$,
obtenus en uniquement 8 résolutions de Navier-Stokes

III - Base POD réactualisée *Méthode à région de confiance (TRPOD)*

Paramètres de contrôle initiaux : $A = 6,0$ et $St_f = 0,2$

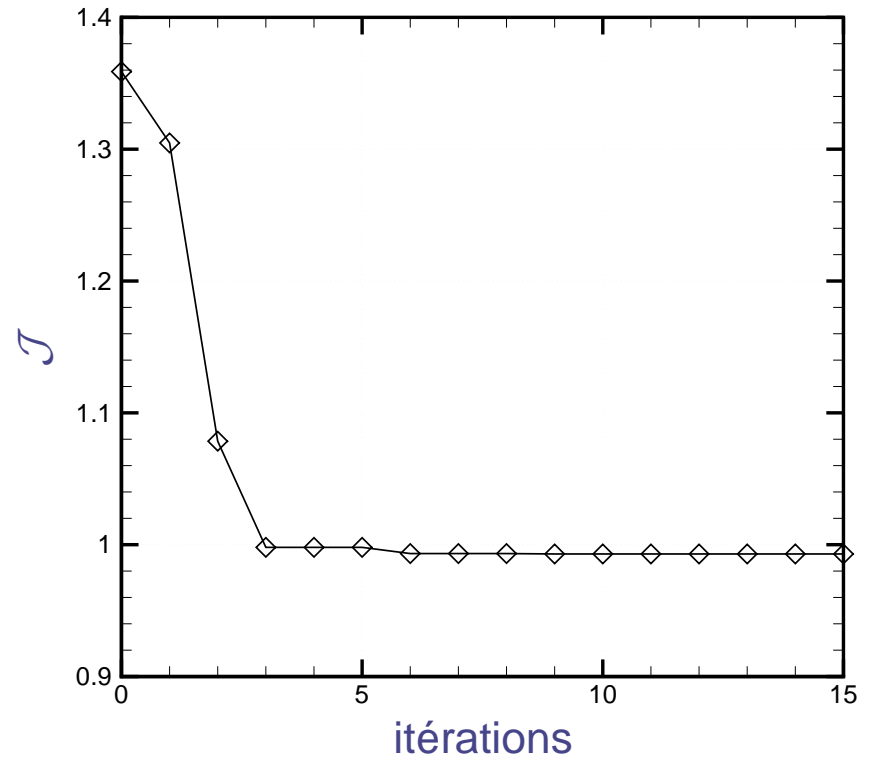
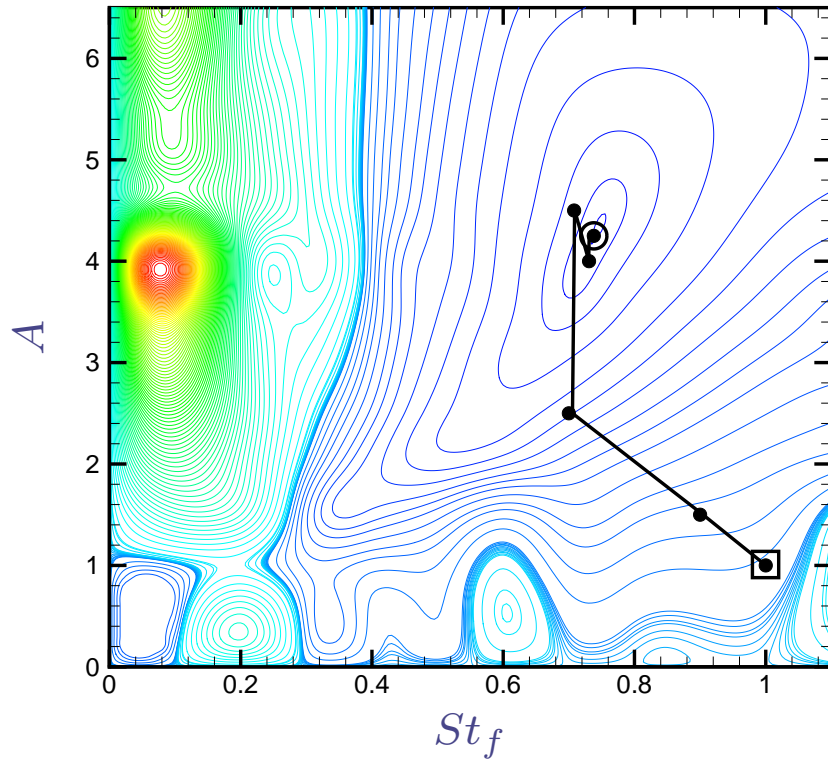


Paramètres de contrôle optimaux : $A = 4,25$ et $St_f = 0,74$

Convergence : coefficient de traînée moyen : $\mathcal{J} = 0,993$,
obtenus en uniquement 6 résolutions de Navier-Stokes

III - Base POD réactualisée *Méthode à région de confiance (TRPOD)*

Paramètres de contrôle initiaux : $A = 1,0$ et $St_f = 1,0$

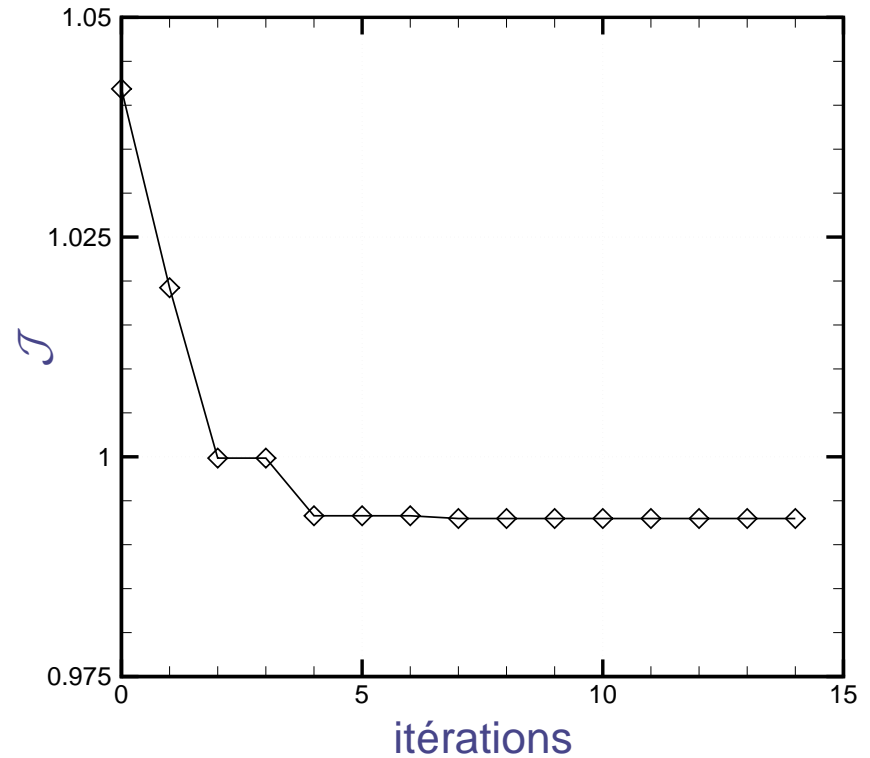
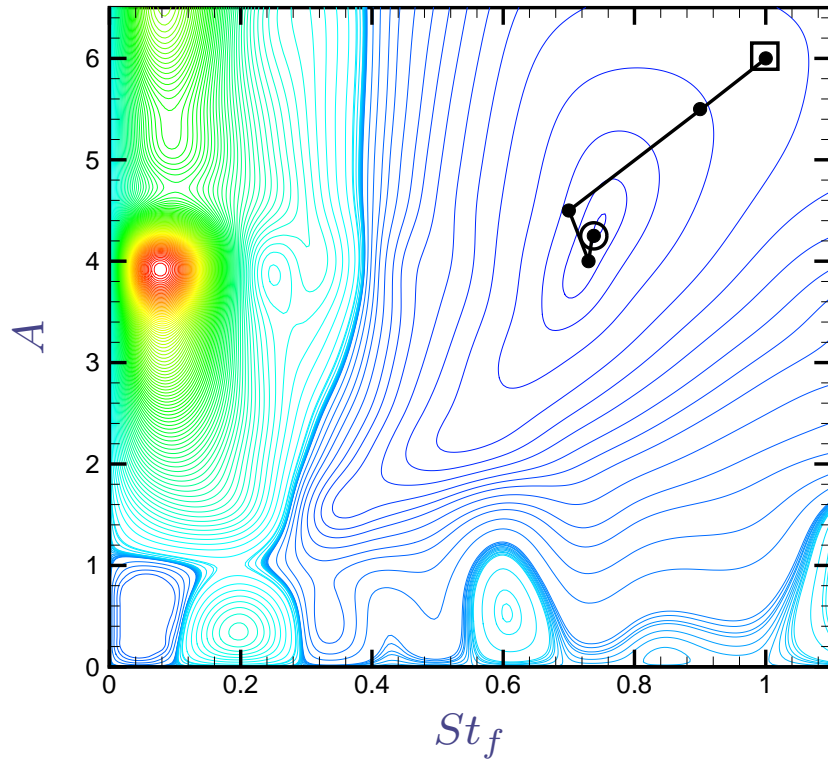


Paramètres de contrôle optimaux : $A = 4,25$ et $St_f = 0,74$

Convergence : coefficient de traînée moyen : $\mathcal{J} = 0,993$,
obtenus en uniquement 5 résolutions de Navier-Stokes

III - Base POD réactualisée *Méthode à région de confiance (TRPOD)*

Paramètres de contrôle initiaux : $A = 6,0$ et $St_f = 1,0$

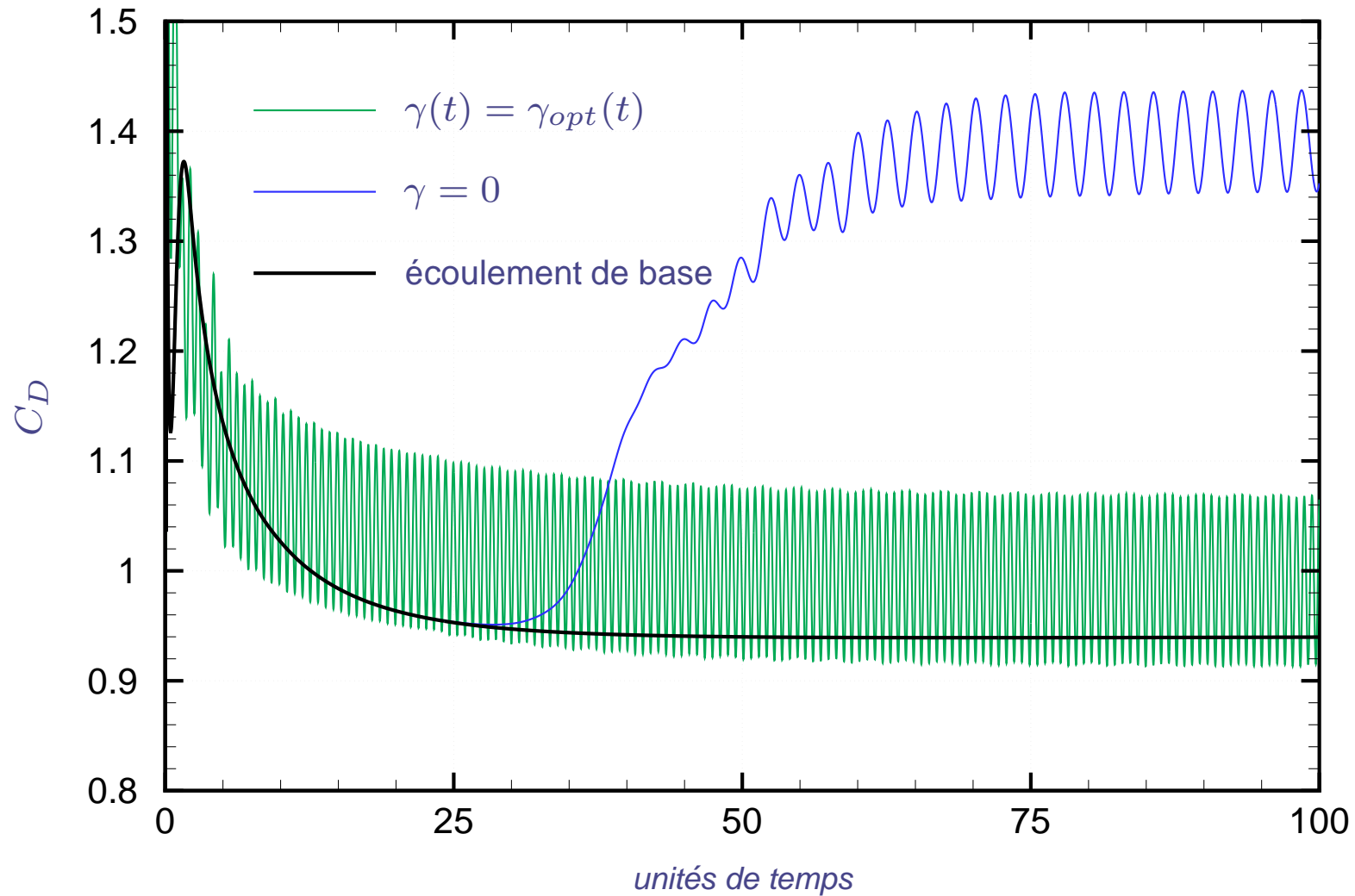


Paramètres de contrôle optimaux : $A = 4,25$ et $St_f = 0,74$

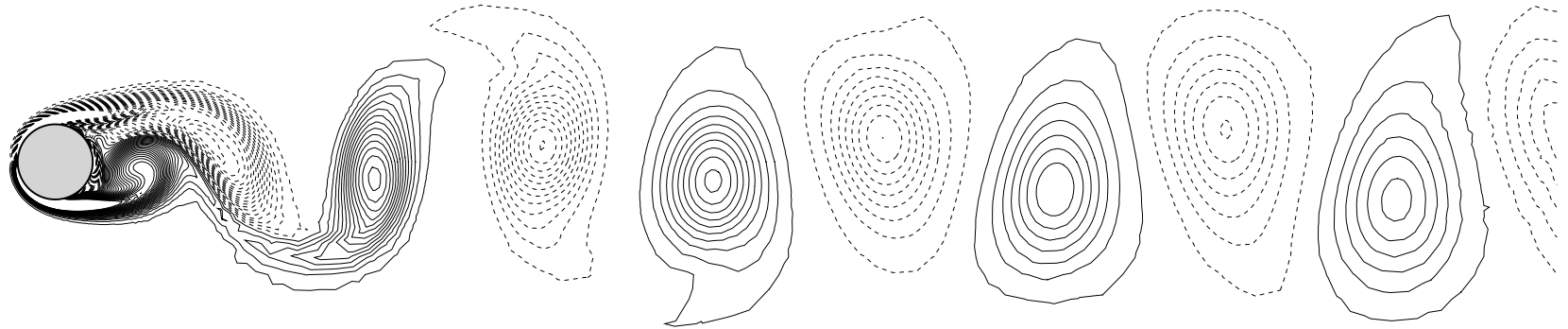
Convergence : coefficient de traînée moyen : $\mathcal{J} = 0,993$,
obtenus en uniquement 4 résolutions de Navier-Stokes

III - Base POD réactualisée *Résultats numériques*

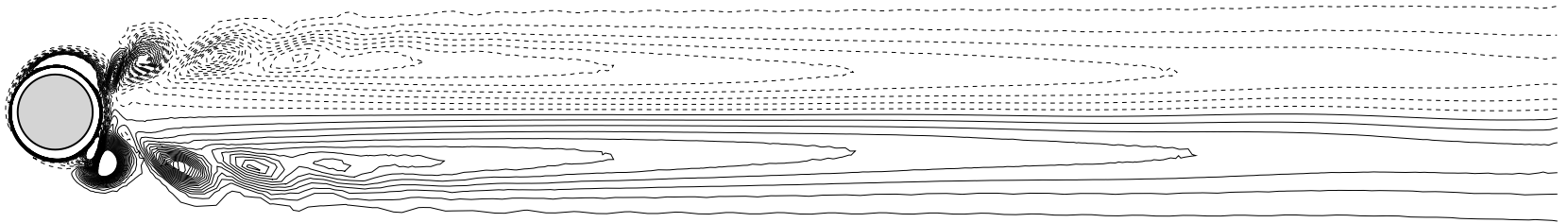
► Loi de contrôle optimale : $\gamma_{opt}(t) = A \sin(2\pi St_f t)$ avec $A = 4,25$ et $St_f = 0,74$



► Diminution relative du coefficient de traînée de 30% ($\mathcal{J}_0 = 1,4 \Rightarrow \mathcal{J}_{opt} = 0,99$)



Écoulement non contrôlé, $\gamma = 0$.



Écoulement contrôlé, $\gamma = \gamma_{opt}$.

Fig. : *Isocontours de vorticité ω_z .*

Écoulement contrôlé : Sillage proche fortement instationnaire, sillage lointain (après 5 diamètres) stationnaire et symétrique → écoulement de base stationnaire instable

► Contrôle optimal Navier-Stokes par He *et al.* (2000) :

↔ loi de contrôle harmonique avec $A = 3$ et $St = 0,75$.
⇒ 30% de réduction de traînée.

► Contrôle *optimal* POD ROM :

↔ loi de contrôle harmonique avec $A = 4,25$ et $St = 0,74$.
⇒ 30% de réduction de traînée.

● Stockage mémoire :

1 600 fois moins de variables par POD ROM que par NSE !

● Temps de calcul :

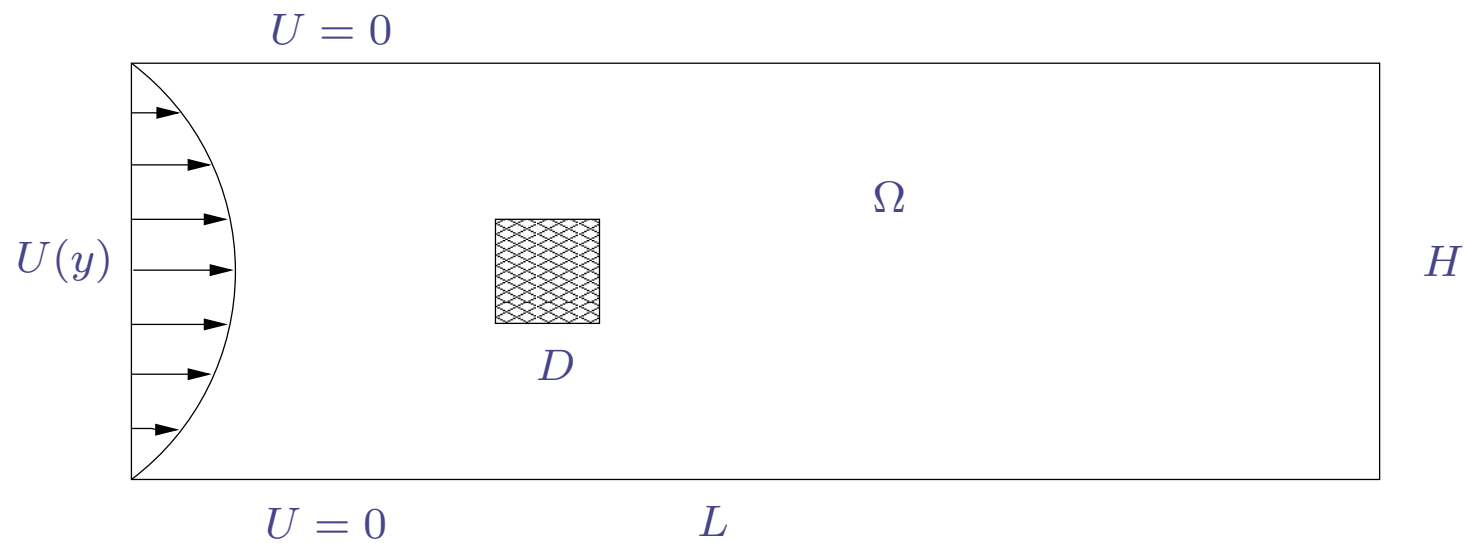
4 fois inférieur par POD ROM que par NSE (idem équations adjointes et condition d'optimalité).

► Améliorer le temps de calcul de la base POD ...

IV - Amélioration du modèle réduit *Configuration*

Travail effectué au MAB avec A. Iollo et C.-H. Bruneau

- Écoulement laminaire 2D autour d'un barreau
- Fluide visqueux, incompressible et newtonien
- Pas de contrôle (pour le moment ...)



- Méthode de pénalisation pour le barreau
- Méthode multigilles V-cycles en espace
- Méthode de Gear en temps

Code de C.-H. Bruneau

IV - Amélioration du modèle réduit *Présentation*

Objectif : améliorer la représentativité dynamique de méthodes de type projection sur bases globales de l'écoulement :

$$\mathbf{u}(\mathbf{x}, t) = \sum_{k=1}^N a_k(t) \Phi_k(\mathbf{x}).$$

↪ déterminer les coefficients temporels a_k et la base Φ .

- Détermination de la base Φ par POD :
 - ▶ nécessité d'obtenir des réalisations (snapshots) de l'écoulement (num. ou exp.)
 - ↪ *le temps d'obtention des snapshots peut être assez long ...*
- Détermination des coefficients temporels a_k par POD :
 - ▶ nécessité de construire et de résoudre un système dynamique
 - ↪ *besoin de modéliser les interactions avec modes non résolus (coûteux)*
 - ↪ *erreurs possibles dans construction car nécessité de calcul de gradient (bruit)*
 - ↪ *temps de construction et résolution croît de façon quadratique avec N*

Remarque : critère d'optimalité concerne la base POD Φ (énergie), mais pas la solution reconstruite $\mathbf{u}(\mathbf{x}, t) = \sum_{k=1}^N a_k(t) \Phi_k(\mathbf{x}) \dots$

IV - Amélioration du modèle réduit *Méthode de construction des $a_k(t)$*

Méthode : Minimisation de la norme* du résidu $\mathcal{R}(u, v, p, t)$ de l'opérateur de Navier-Stokes, restreint à la base POD, à chaque pas de temps.

► Avantages :

- ↪ résolution "facile" d'un système linéaire $L\mathbf{a} = \mathbf{f}$
avec $\mathbf{a} \in \mathbb{R}^N$, $\mathbf{f} \in \mathbb{R}^N$ et $L \in \mathbb{R}^{N \times N}$
- ↪ pas besoin de modéliser les interactions avec modes non résolus
⇒ *a priori* retour vers attracteur NS ⇒ SOLUTION STABLE
- ↪ le pas de temps peut être choisis "grand" car structures à grandes échelles
- ↪ le temps de calcul croît linéairement avec N (pas quadratiquement)
⇒ adapté pour systèmes de grande taille

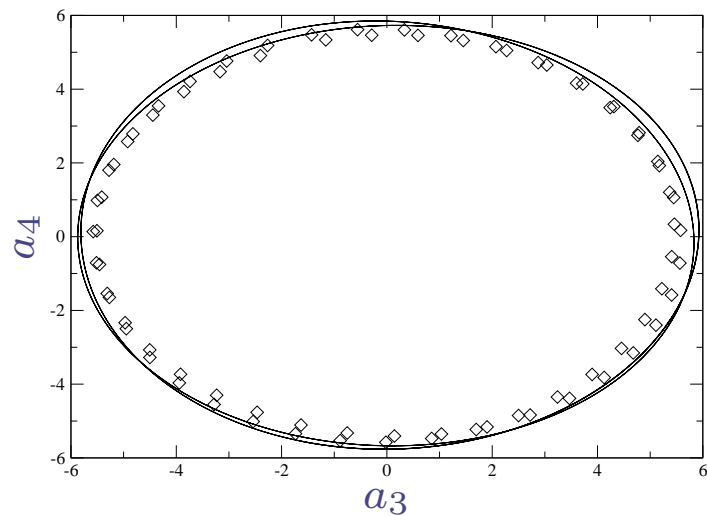
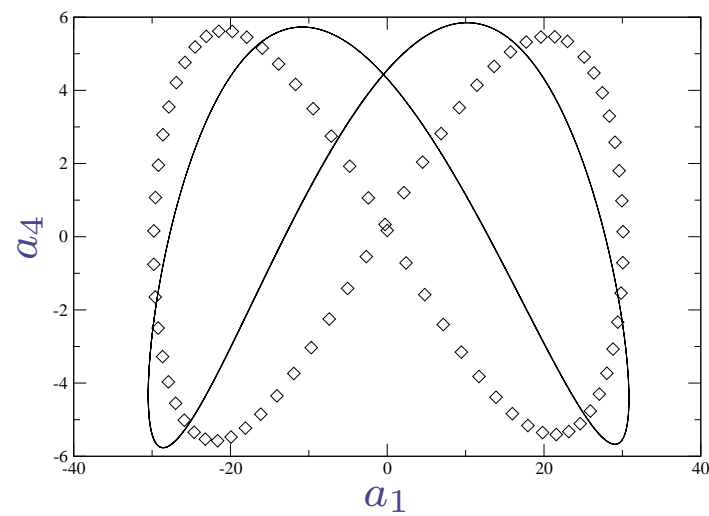
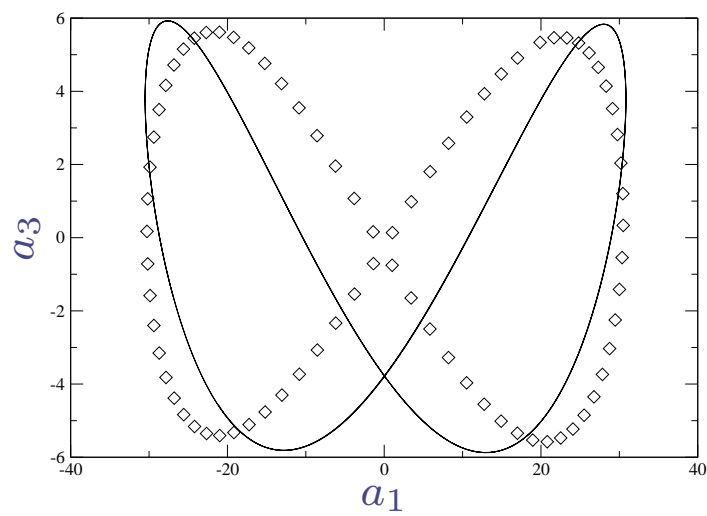
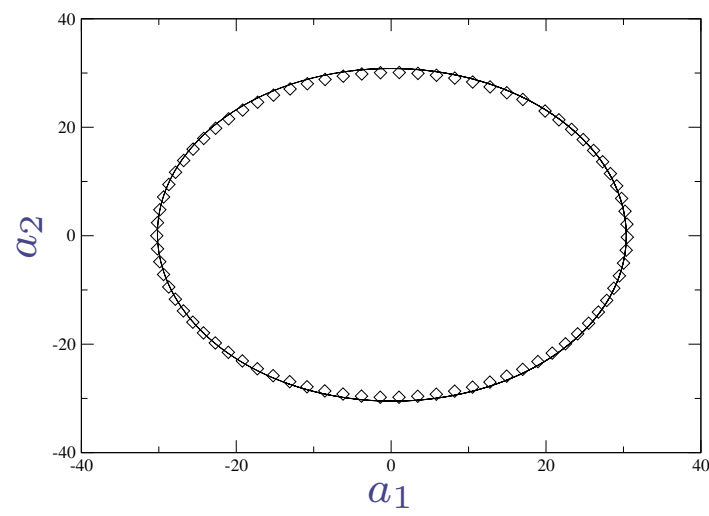
► Inconvénients :

- ↪ besoin d'évaluer le résidu
⇒ nécessité discrétisation de l'opérateur NS (si pas code disponible)
- ↪ cycles limites légèrement différents de ceux de NS (??)

* à bien définir ...

IV - Amélioration du modèle réduit *Méthode de construction des $a_k(t)$*

► cycles stables aux temps longs (milliers périodes), mais \neq NS!



IV - Amélioration du modèle réduit *Méthode de construction de la base ϕ*

Objectif : *construire ou actualiser une base à une nouvelle dynamique, sans avoir recours à de coûteuses simulations ou expériences.*

↪ Exemple : on cherche à actualiser une base construite à Re_1 afin de représenter un écoulement à Re_2 .

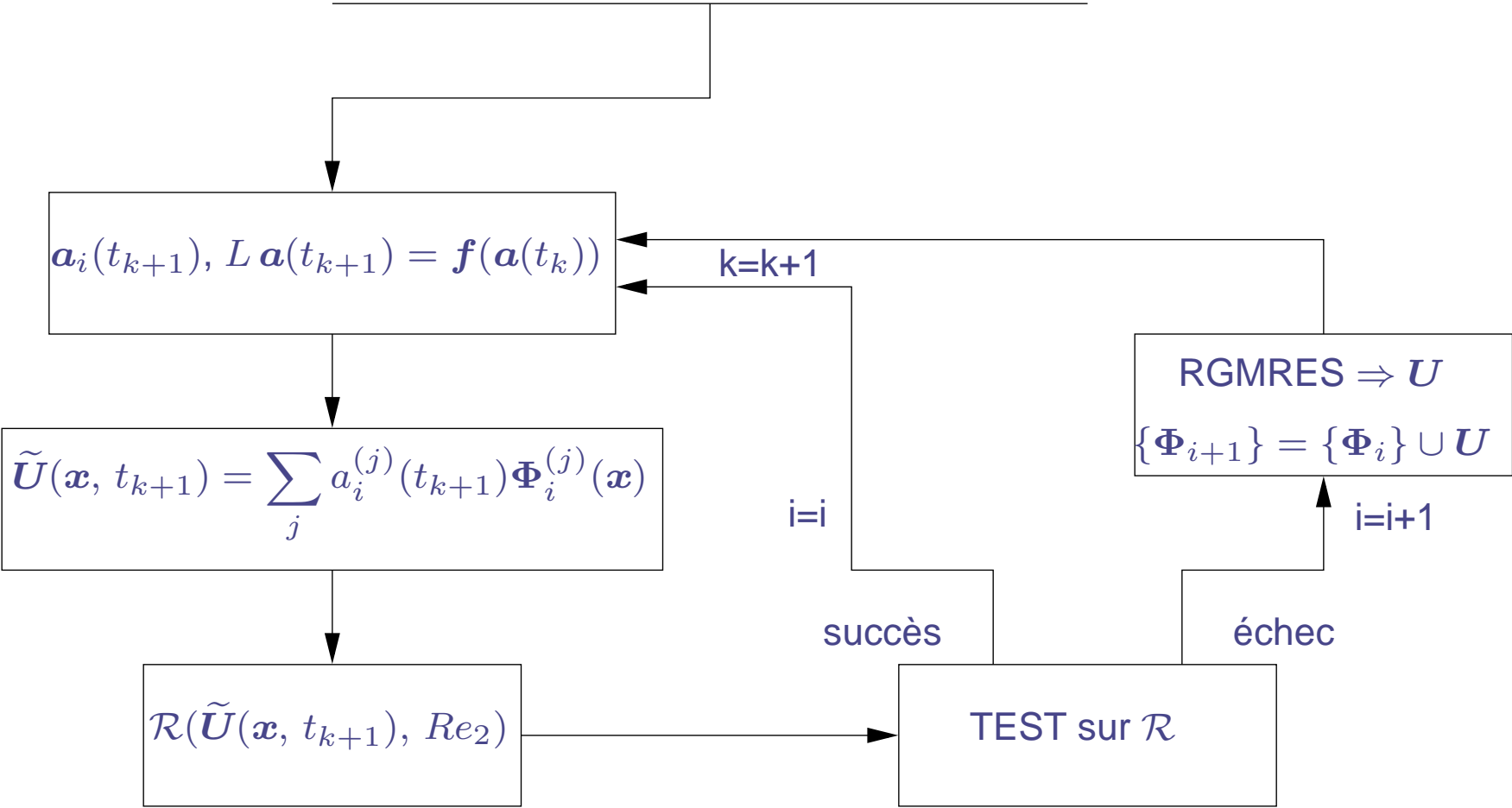
Algorithme : Initialisation : $k=0$. Δt fixé. Calcul d'une base POD initiale Φ (à Re_1), puis des coefficients $\mathbf{a}(0)$ (minimisation/projection)

1. Détermination des coefficients $a_i(t_{k+1})$: $L \mathbf{a}(t_{k+1}) = \mathbf{f}(\mathbf{a}(t_k))$
2. Construction des champs $\mathbf{U}(\mathbf{x}, t_{k+1}) = \sum_{i=1}^N a_i(t_{k+1}) \Phi_k(\mathbf{x})$.
3. Evaluation de la norme du résidu NSE $\mathcal{R}(\mathbf{U}(\mathbf{x}, t_{k+1}), Re_2)$. Si ce "résidu n'augmente pas de trop", retour à l'étape 1. Sinon :
4. Mise en oeuvre de méthode RGMRes (*Restarted Generalized Minimal Residual*) :
 $k = k + 1$
 - (a) Ajout d'un mode à la base POD existante par Gram-Schmidt.
Ce mode est recherché par minimisation dans l'espace de Krylov engendré par $\mathcal{R}(\mathbf{U}(\mathbf{x}, t_{k+1}), Re_2)$.
 - (b) Retour à l'étape 1

↪ Quand la base est jugée trop grande, on fait une compression (POD).

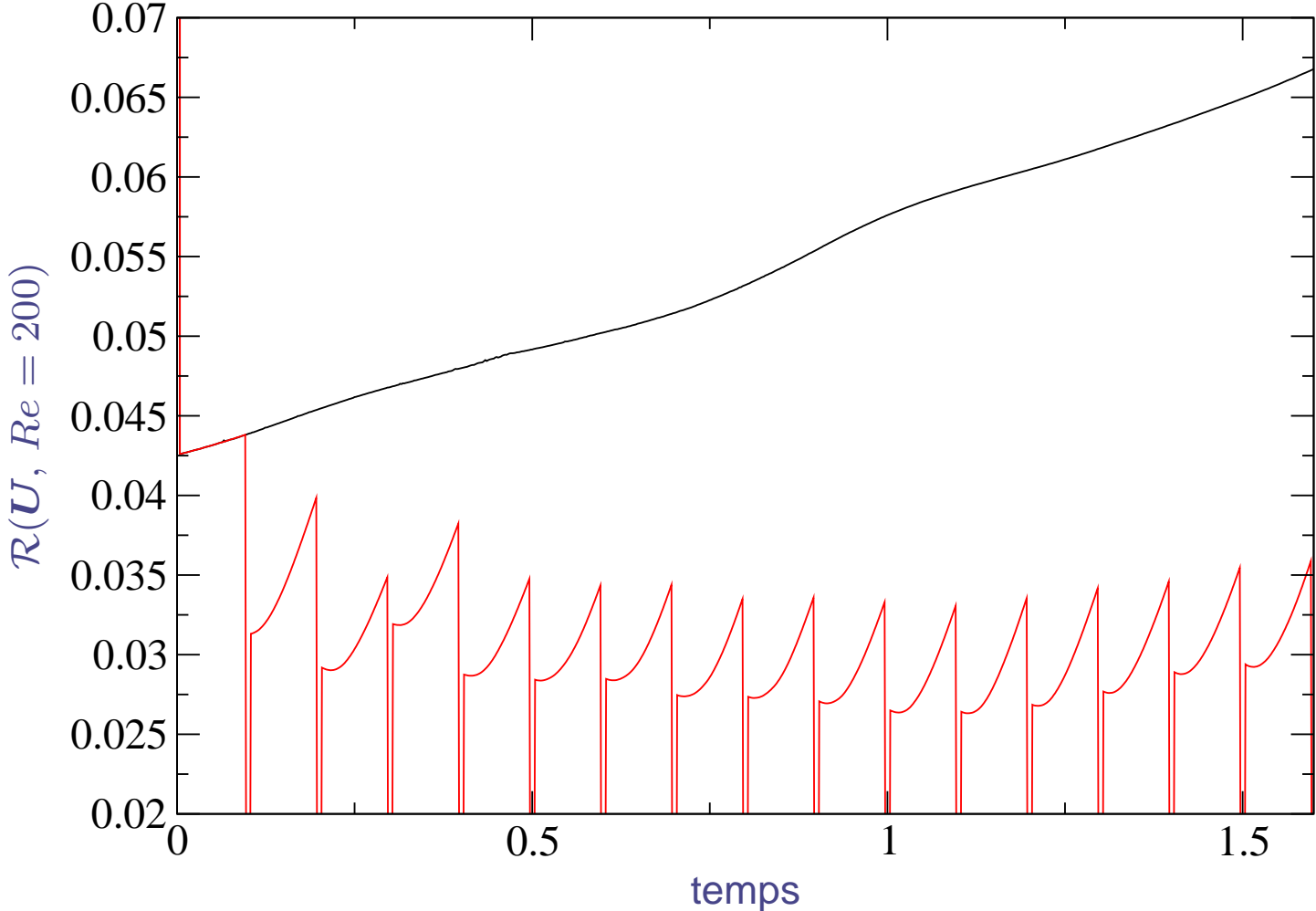
IV - Amélioration du modèle réduit *Méthode de construction de la base ϕ*

Initialisation : $i = 0, Re_1, \Phi_i(\mathbf{x}), \mathbf{a}_i(t = 0), k = 0, t_k = 0.$



IV - Amélioration du modèle réduit *Méthode de construction de la base ϕ*

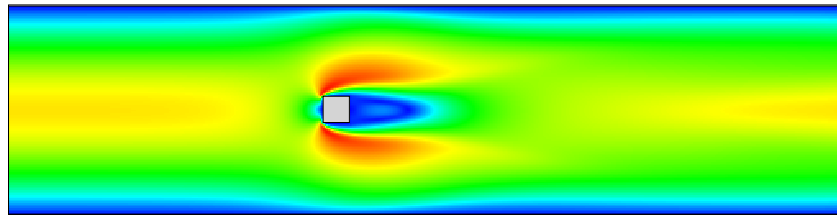
Evolution temporelle du résidu à $Re = 200$.



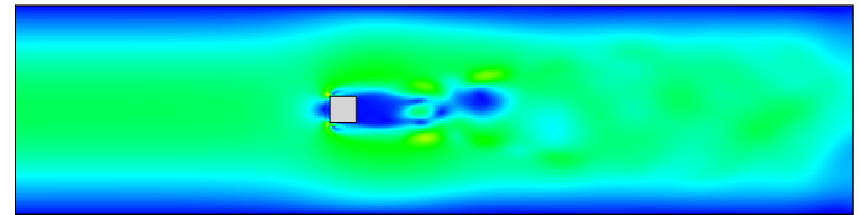
Base à $Re = 100$, base à $Re = 100 + \text{RGMRes.}$

IV - Amélioration du modèle réduit *Méthode de construction de la base ϕ*

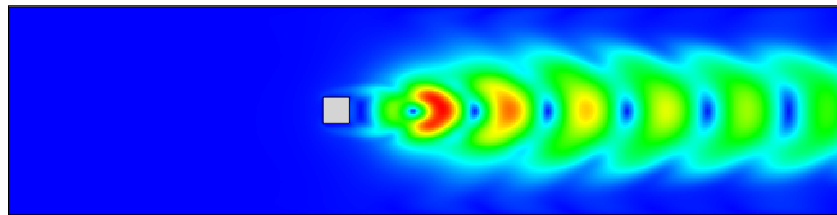
Visualisation des modes POD et des modes RGMRes.



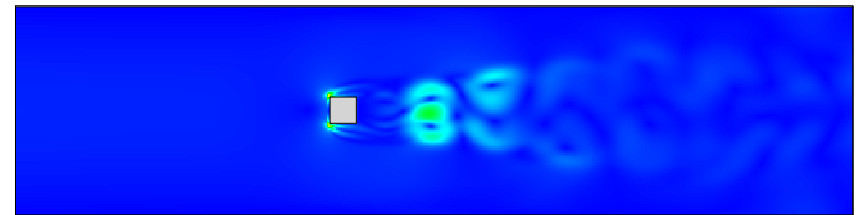
1^{er} mode POD



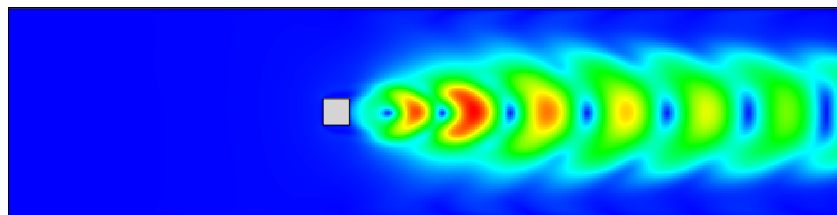
1^{er} mode RGMRes



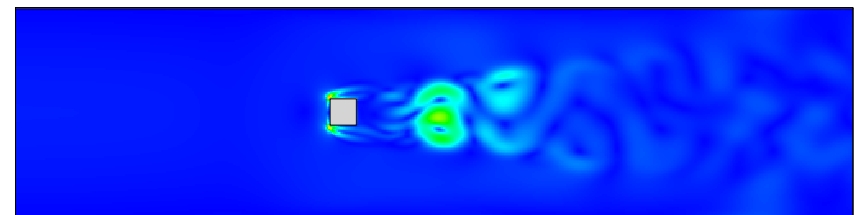
3nd mode POD



2nd mode RGMRes



3^{eme} mode POD



3^{eme} mode RGMRes

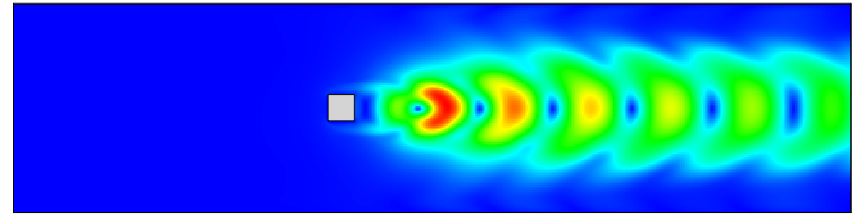
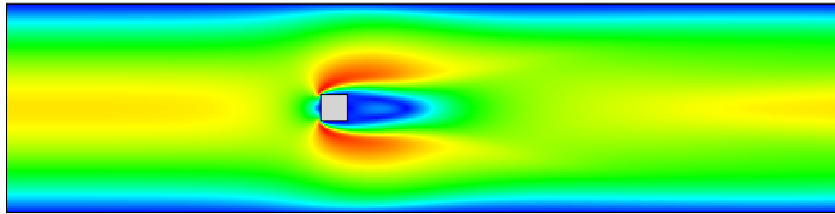
Modes POD à $Re = 100$

Modes RGMRes à $Re = 200$

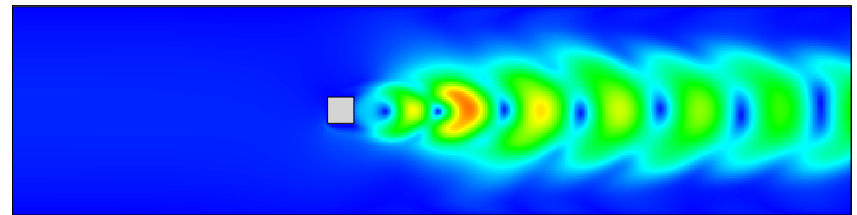
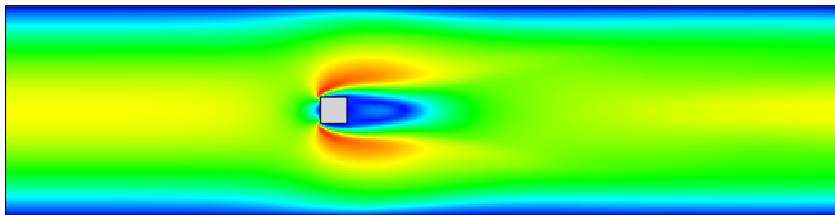
La taille de la base peut augmenter très rapidement \Rightarrow faire compression (POD)

IV - Amélioration du modèle réduit *Méthode de construction de la base ϕ*

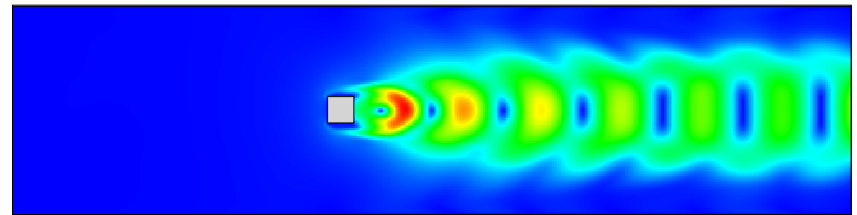
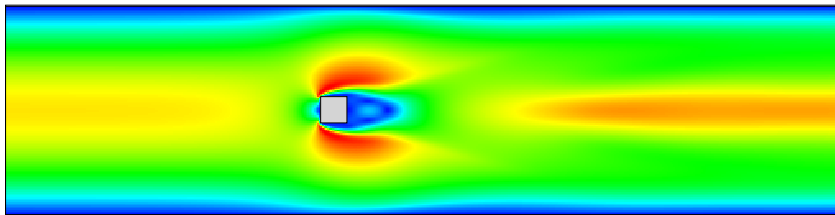
Comparaison des modes POD à $Re = 100$, $Re = 200$ et $Re = 100$ avec RGMRes.



Base POD à $Re = 100$



Base POD à $Re = 100$ + RGMRes, après compression POD



Base POD à $Re = 200$

Observations : *bonne reconstruction des champs de fluctuations,
mauvaise reconstruction du champs moyen.*

⇒ besoin d'une procédure itérative

Conclusions

Optimisation SANS réactualisation de la base POD

- ▶ Loi de contrôle *sous-optimale* harmonique : $A = 2, 2$ et $St_f = 0, 53$.
 - ↪ 25% de réduction relative de traînée
- ▶ Réduction des coûts de calculs POD/NSE
 - ↪ En temps : 100 fois, en mémoire 600 fois

Optimisation AVEC réactualisation de la base POD (TRPOD)

- ▶ Loi de contrôle *optimale* harmonique : $A = 4, 25$ et $St_f = 0, 74$.
 - ↪ 30% de réduction relative de traînée
- ▶ Réduction des coûts de calculs POD/NSE
 - ↪ En temps : 4 fois, en mémoire 1 600 fois

Différences résultats ?

⇒ Méthodes et objectifs mathématiques différents

TRPOD : technique appropriée et efficace pour le contrôle d'écoulements avec preuves de convergence !

Amélioration de la base POD

- ▶ Actualisation rapide de la base POD, sans résolution NSE
- ▶ Obtention rapide et efficace des coefficients temporels
 - ↪ Résultats encourageants, mais méthode reste à perfectionner

► Amélioration méthode de réduction

● Coefficients temporels : essayer de retrouver les cycles limites NS

↔ Trouver la bonne norme pour le résidu

↔ Régulariser, voir pénaliser la fonction objectif

● Base globale POD : déterminer une base fiable (écoulement moyen)

↔ Essayer un processus itératif

► Applications

● Contrôle d'écoulements (actualisation rapide de la base) *GDR CDD*

↔ Essayer TRPOD pour écoulements complexes

● Conditions Aux Limites Instationnaires pour les équations de Naviers-Stokes *ANR CALINS*

↔ Coupler LES avec modèle réduit proche paroi